

## DAFTAR PUSTAKA

- A, Feiberg. 2018. Thermodynamic Degradation Science: Physics of Failure, Accelerated Testing, Fatigue and Reliability Applications by Alec Feinberg. 43(3): 244.
- Afrizal dan Gunawarman. 2016. Analisa Struktur Mikro Material Substitusi Hidroksiapatit Cangkang Kerang Darah dan Resin Akrilik Bahan Pembuat Gigi untuk Aplikasi Gigi Tiruan. *Surya Teknika*, 1(4): 1-9. ISSN: 2354-6751.
- Ahmed, Fahd., Haroon Rashid., Sadaf Farookhi., Vivek Verma., Yuliya., Mulyar., Murai Khalifa., and Zeeshan Sheikh. 2015. Surface Modifications Of Endosseous Dental Implants By Incorporation Of Roughness And Hydroxyapatite Coating. *Journal Of The Pakistan Dental Association*, 24(4): 162-171.
- Andriani, Nur Kaifah. 2016. Sintesis dan Karakterisasi Hidroksiapatit dari Limbah Sisik Ikan Kurisi (*Nemipterus nemathoporus*) Menggunakan Metode Presipitasi Kimia Basah Sebagai Aplikasi Dental Bio-Dental. *Skripsi*. Fakultas Teknologi Pertanian. Universitas Brawijaya.
- Anggresani, Lia., Yoli Nopita Sari., Rahmadevi. 2021. Hydroxyapatite (HAp) From Tenggiri Fish Bones As Abrasive Material In Toothpaste Formula. *Jurnal Kimia Valensi*. 7(1): 1-9.
- Arif, S., G. N. Hermana., Z. Khalidaa., Moch. Wisnu Arif S and Ika Puspita. 2020. Synthesis of Biomaterial Hydroxyapatite from Limestone by Using Two Step Conversion. *International journal of science, engineering, and information technology*. 5(1): 236-238.
- Asmawati., Bahruddin Thalib., Alqarama M. Thalib., Delvi S. Reni., and Rafikah Hasyim. 2018. Comparison of blood clam (*anadara granosa*) shell paste, shrimp (*litopenaeus vannamei*) shell paste and casein phosphopeptide-amorphous calcium phosphate (CPP-ACP) paste as teeth remineralization material. *Journal of Dentomaxillofacial Science (J Dentomaxillofac Sci)*, 3(3): 162-165.
- Asra, Dina Yauma. 2019. Sintesis Biokomposit CHA/PVA/Alginat Sebagai Biomaterial Substitusi Tulang. *Tesis*. Sekolah Pascasarjana. Institute Pertanian Bogor.
- Belattmania, Zahira., Soukaina Kaidi., Samir El Atouani., Chaimaa Katif., Fouad Bentiss., Charafeddine Jama., Abdeltif Reani., Brahim Sabour and Vitor Vasconcelos. 2020. Isolation and FTIR-ATR and <sup>1</sup>H NMR Characterization of Alginates from the Main Alginophyte Species of the Atlantic Coast of Morocco. *Molecules*. 25(4335): 1-9.

- Cahyaningrum, Sari Edi., Nuniek Herdyastuty., Fenty Findia., Bella Devina dan Dicky Supangat. 2019. Sintesis Dan Karakterisasi Hidroksiapatit Dari Cangkang Telur Ayam ( Gallus gallus) Dengan Teknik Pengendapan Basah Sebagai Kandidat Implant Tulang. *Seminar Nasional Kimia dan Pembelajarannya (SNKP)*. 119-127.
- Cahyaningrum, S. E., N. Herdyastuty., B. Devina and D. Supangat. 2017. Synthesis and Characterization of Hydroxyapatite Powder by Wet Precipitation Method. *International Conference on Chemistry and Material Science (IC2MS)*.
- Cavalu, Simona., Luminita Fritea., Marcel Brocks., Katia Barbaro., Gelu Murvai., Traian Octavian Costea., Iulian Antoniac., Claudio Verona., Martina Romani., Alessandro Latini., Romano Zilli., Julietta V and Rau. 2020. Novel Hybrid Composites Based on PVA/SeTiO<sub>2</sub> Nanoparticles and Natural Hydroxyapatite for Orthopedic Applications: Correlations between Structural, Morphological and Biocompatibility Properties. *Material MDPI*. 13(2077): 1-20.
- Charlena., T.Kemala and Ravena. 2022. Coating of Nanotube Ti6Al4V Alloy with Hydroxyapatite-Chitosan-Polyvinyl Alcohol Composite. *Indonesian Journal of Fundamental and Applied Chemistry*. 7(2): 58-67.
- Cristina, Teisanu and Cinca Ion. 2018. Investigation of the Pore Morphology of the Hydroxyapatite-Based Bicomposites Processed by Two Step Sintering. *Advanced Engineering Forum*. 27: 32-41.
- D'Addazio, Gianmaria., Edit Xhajanka., Paolo Cerone., Manlio Santilli., Imena Rexhepi., Sergio Caputi., et al. 2021. Traditional Removable Partial Dentures versus Implant-Supported Removable Partial Dentures: A Retrospective, Observational Oral Health-Related Quality-of-Life Study. *Prosthesis*. 3: 361-369.
- Dalal, Shima R., Mervat H. Hussein., Noura El-Ahmady El-Naggar ., Sahar I. Mostafa and Sami A. Shaaban-Dessuuki. 2021. Characterization of Alginate Extracted from Sargassum Latifolium and its use in Chlorella Vulgaris Growth Promotion and Ribofavin Drug Delivery. *Scientific Reports*. 11(16741): 1-17.
- Dwiyanti, Stephani Dwiyanti dan Mora Octavia. 2019. Penggunaan Implan Gigi Sebagai Alternatif Gigi Tiruan. *Damianus Journal of Medicine*, 18(1): 40-49.
- Ebadipour, Negisa Ebadipour., Sebastien Paul., Benjamin Katryniok and Franck Dumeignil. 2021. Calcium Hydroxyapatite: A Highly Stable and Selective Solid Catalyst for Glycerol Polymerization. *Catalysts*. 11(1247): 1-17.
- Ferreira, C.R.D., A.A.G. Santiago., R.C. Vasconcelos., D.F.F. Paiva., F.Q. Piri., A. A. Araujo., et al. 2022. Study of Microstructural, Mechanical and Biomedical Properties of Zirconia/Hydroxyapatite Ceramic Composites. *Ceramics International*. 48: 12376–12386.

- F, Fernando., Rios Pimentel., Magdalena M.. Mendez Gonzalez and Miguel García Rocha. 2023. *A Short Review: Hydroxyapatite Coatings for Metallic Implants*. *Treatment and Surface Engineering*. 5(1): 1-22.
- Firnanelty. 2016. Sintesis Komposit Hidroksiapatit-Kitosan-PVA Sebagai Injectable Bone Substitute. *Tesis*. Bogor. Program Pascasarjana. Institute Pertanian Bogor.
- Fitriyana, Deni Fajar., Rifky Ismail., Yanuar Iman Santosa., Sri Nugroho., Ahmad Jazilussurur Hakim and Mohammad Syahreza Al Mulqi. 2019. Hydroxyapatite Synthesis from Clam Shell Using Hydrothermal Method : A Review. *IBITeC*. 1-135.
- Gago, Jumilah And Yulius Dala Ngapa. 2021. Pemanfaatan Cangkang Telur Ayam Sebagai Material Dasar dalam Sintesis Hidroksiapatit dengan Metode Presipitasi Basah. *Cakra Kimia (Indonesian E-Journal of Applied Chemistry)*. 9(1): 29-34.
- Gamagedara T.P and R. M. G. Rajapakse. 2019. Facile Bottom-Up Approach to Synthesise Hydroxyapatite-Polymethyl Methacrylate Nanocomposites for Possible Applications in Bone Grafting. *International Journal of Nanotechnology in Medicine & Engineering*. 4(1): 1-8.
- Gintu, Agung Rimayanto., Elizabeth Betty Elok Kristiani dan Yohanes Martono. 2020. Karakteristik Pasta Gigi Berbahan Abrasif Hidroksiapatit (HAP). *Jurnal Kimia Riset*, 5(2): 120-126.
- Gomes, D. S. Gomes., A. M. C. Santos., G. A. Neves., and R. R. 2019. Menezes. A brief review on hydroxyapatite production and use in biomedicine (Uma breve revisao sobre a obtencao de hidroxiapatita e aplicacao na biomedicina). *Journal Ceramica*, 65 : 282-302.
- Gulati, Karan., Divya Chopra., Necla Asli Kocak Oztug and Elise Verron. 2023. Fit and Forget: The Future of Dental Implant Therapy Via Nanotechnology. *Advanced Drug Delivery Reviews*. 199: 1-20.
- Gunawarman., Jon Affi., Zulkifli Amin., Nuzul Ficky Nuswantoro., Dian Juliadmi., Hidayatul Fajri., Menkher Manjas., Netti Suharti dan Djong Hon Tjong. 2019. Pelapisan Hidroksiapatit pada Paduan Titanium dengan Electrophoretic Deposition (EPD) untuk Implan Ortopedi. *Prosiding SNTTM XVIII*. 1-7.
- Hafisiko, Handra., Ardyanto dan Maycel Trixi. 2014. Pemanfaatan Limbah Cangkang Kerang Darah (*Anadara granosa* Linn) Dalam Sintesis Nanohidroksiapatit Sebagai Bone Implan untuk kersakan tulang. *Laporan Akhir*. Institute Pertanian Bogor.
- Hariyanto, Alvin., Vita Kartika Sari dan Caecilia Pujiastuti. 2020. Kinetika Reaksi Pembentukan Kalsium Fosfat dari Asam Fosfat dan Cangkang Kerang Darah. *Journal of Chemical and Process Engineering*. 1(2): 32-38.
- Hanawa, Takao. 2022. Biocompatibility of Titanium from The Viewpoint of its Surface. *Science and Technology of Advanced Materials*. 23(1): 457-472.

- Harsimran, S., K. Santosh and K. Rakesh. 2021. Overview of Corrosion and Its Control: A Critical Review. *Proceedings on Engineering Sciences*. 3(1): 13-24.
- Hartatiek., Yudyanto., M.I. Wuriatika., Joko Utomo., M. Nurhuda., Masruroh and D.J.D.H. Santjojo. 2020. Nanostructure, Porosity and Tensile Strength of PVA/Hydroxyapatite Composite Nanofiber for Bone Tissue Engineering. *Materials Today: Proceedings*. 1-4.
- Heboyan, Artak and Francesco Bennardo. 2023. New Biomaterial for Modern dentistry. *BMC Oral Health*. 23 (817): 1-3.
- Hidayat, Putri Husni., Ahmad Fadli dan Amun Amri. 2016. Pelapis Hidroksiapatit pada Stainless Steel 316L Menggunakan Metode Dip Coating dengan Variasi Rasio Binder Pati Sagu dan Waktu Pengadukan. *Jom FTEKNIK*. 3(1): 1-7.
- Hossain, Md. Sahadat and Samina Ahmed. 2023. FTIR Spectrum Analysis to Predict The Crystalline and Amorphous Phases of Hydroxyapatite: A Comparison of Vibrational Motion to Reflection. *Published by the Royal Society of Chemistry*. (13): 14625-14630.
- Husain, Adib Al-Haj., Olivia De Cicco., Bernd Stadlinger., Fabienne Andrina Bosshard., Valérie Schmidt., Mutlu Ozcan., et al. 2023. A Survey on Attitude, Awareness, and Knowledge of Patients Regarding the Use of Dental Implants at a Swiss University Clinic. *Dentistry Journal*. 11(165): 1-9.
- Hutabarat, Geofanny S., Dzikri T., Qodir., Hendri Setiawan., and Atiek R. Noviyanti. 2019. Sintesis Komposit Hidroksiapatit-Lantanum Oksida (HA-La<sub>2</sub>O<sub>3</sub>) dengan Metode Hidrotermal secara In-Situ dan Ex-Situ. *ALCHEMY Jurnal Penelitian Kimia*, 15(2): 287-301.
- Indrani, Decky Jusiana. 2012. Komposit Hidroksiapatit Kalsinasi Suhu Rendah dengan Alginat Sargassum Duplicatum atau Sargassum Crassifolium Sebagai Material Scaffold untuk Pertumbuhan Sel Punca Mesenkimal. *Disertasi*. Program Doktor Bidang Ilmu Material. Fakultas Matematika dan Ilmu Pengetahuan Alam. Universitas Indonesia.
- InfoDATIN. 2019. Pusat Data dan InformasiKementerian Kesehatan RI.
- Jamarun, Novesar., Dinda Amelia., Rahmayeni., Upita Septiani dan Vivi Sisca. 2023. The effect of Temperature on the synthesis and characterization of hydroxyapatite-polyethylene glycol composites by in-situ process. *Hybrid Advances*. 2(100031): 1-7.
- Kalpana, M., R. Nagalakshmi and M. Jeyakanthan. 2022. Development of Hydroxyapatite Coating on Titanium Alloy for Orthopedic Applications. *ECS Journal of Solid State Science and Technology*. 11(113007): 1-9.
- Kartikasari, Niva Dian. 2014. Sintesis dan Karakterisasi Hidroksiapatit dari Cangkang Keong Sawah (Pila ampullacea) dengan Porogen Lilin Sarang Lebah Sebagai Aplikasi Scaffold. *Skripsi*. Fakultas Sains dan Teknologi. Universitas Airlangga.

- Khajouei, Roya Abka., Latifa Tounsi., Nasim Shahabi., Anil Kumar Patel., Slim Abdelkafi., and Philippe Michaud. 2022. Structures, Properties and Applications of Alginates. *Marine Drugs*. 20(364): 1-18.
- Khalid, Munira., Suzi Salwah Binti Jikan., Sharifah Adzila., Zalilah Murni., Nur Azam Badarulzaman., Rozainita Rosley & Muhammad Usman Hameed. 2022. Synthesis and Characterizations of Hydroxyapatite using Precursor Extracted from Chicken Egg Shell Waste. *Biointerface Research In Applied Chemistry*, 12(4): 5663 - 5671.
- Kim, Hyun Suk., Pil Young Yun and Young Kyun Kim. 2016. Randomized controlled Clinical Trial of 2 Types Of Hydroxyapatite-Coated Implants On Moderate Periodontitis Patients. *J Periodontal Implant Sci*, 46(5): 337-349.
- Kim, Kyeong Tae Kim., Mi Young Eo., Truc Thi Hoang Nguyen., and Soung Min Kim. 2019. General review of titanium toxicity. *International Journal of Implant Dentistry*. 5(10): 1-12.
- Klinkaewnaronga, Jutharatana and Songkot Utarab. 2018. Ultrasonic-Assisted Conversion of Limestone into Needle-Like Hydroxyapatite Nanoparticles. *Ultrasonics Sonochemistry*. 1-38.
- Le, Duyen Thi Le., Thao Phuong Thi Le., Hai Thi Do., Hanh Thi Vo., Nam Thi Pham., Thom Thi Nguyen., et al. 2019. Fabrication of Porous Hydroxyapatite Granules as an Effective Adsorbent for the Removal of Aqueous Pb (II) Ions. Hindawi. *Journal of Chemistry*. 1-10.
- Majhool, Alhussein Arkan Majhool., Ismail. Zainol., Che Nor Aiza Jaafar., Alsailawi. H. A., Mohammad Zorah Hassan., Mustafa mudhafar., Ali Arkan majhool., and Abbas Asaad. 2019. A Brief Review on Biomedical Applications of Hydroxyapatite Use as Fillers in Polymer. *Journal of Chemistry and Chemical Engineering*. 13: 62-75.
- Malau, N D and F Adinugraha. 2020. Synthesis Of Hydrokxyapatite Based Duck Egg Shells Using Precipitation Method. *Journal of Physics: Conference Series*. 1563: 1-8.
- Mangkuasih, Sri Maulidiyah & Lydia Rohmawati. 2021. Sintesis Hidroksiapatit dari Tulang Ikan Sapu-Sapu (*Hypostomus plecostomus*) dengan Metode Presipitasi. *Jurnal Teori dan Aplikasi Fisika*, 9(2): 229-236.
- Maryani, Eneng., Sri Cicih Kurniasih., Naili Sofiyarningsih dan Bayu Priyanto. 2018. Penyiapan Komposit Hidroksiapatit-Zirkonia Sebagai Bahan Biokeramik. *Jurnal Keramik dan Gelas Indonesia*, 27(1): 40-50.
- Ma, Rui and Dagang Guo. 2019. Evaluating The Bioactivity of A Hydroxyapatite-Incorporated Polyetheretherketone Biocomposite. *Journal of Orthopaedic Surgery and Research*. 14(32): 1-13.
- Mediaswanti, Kun A. 2017. Studi Kekuatan Adhesi dn Apatite Induction Ability pada Pelapisan Hydroxyapatite pada Titanium. *Jurnal Reka Buana*, 2(2): 156-160.

- Milla, Lalita El., dan Decky Joesiana Indrani. 2016. Hidroksiapatit, alginat, dan kitosan sebagai bahan scaffold tulang: studi spektroskopi. *Dentika Dental Journal*. 19(2): 93-100.
- Mondal, Sudip., Sumin Park., Jaeyeop Choi., Thi Thu Ha Vu., Vu Hoang Minh Doan., Truong Tien Vo., Byeongil Lee., and Junghwan Oh. 2023. Hydroxyapatite: A journey from biomaterials to advanced functional materials. *Advances in Colloid and Interface Science*. 321(103013):1-27.
- Monica, Silvia. 2017. Ti6Al4V Terlapis Hidroksiapatit-Gelatin Menggunakan Metode Dip-Coating Termodinamika Sebagai Implan Tulang. *Tesis*. Sekolah Pascasarjana. Institute Pertanian Bogor. Bogor.
- Mosas, Kamalan Kirubakaran Amirtharaj., Ashok Raja Chandrasekar., Arish Dasan., Amirhossein Pakseresht dan Dušan Galusek. 2022. Recent Advancements in Materials and Coatings for Biomedical Implants. *Gels*. 8(323): 1-35.
- Moskalewicz, Tomasz., Maciej Warcaba., Alicja Łukaszczyk., Marcin Kot., Agnieszka Kopia., Zoya Hadzhieva., and Aldo R. Boccaccini. 2022. Electrophoretic Deposition, Microstructure and Properties Of Multicomponent Sodium Alginate-Based Coatings Incorporated With Graphite Oxide and Hydroxyapatite On Titanium Biomaterial Substrates. *Applied Surface Science*. 575.
- Mozartha, Martha., Muthiara Praziandithe., & Sulistiawati. 2015. Pengaruh Penambahan Hidroksiapatit dari Cangkang Telur Terhadap Kekuatan Glass Ionomer Cement. *Jurnal B-Dent*. 2(1): 75-81.
- Muharni, R., Gunawarman and Y Yetri. 2019. Corrosion Behavior of Ti6Al4V ELI Coated by Bioceramic HA in Artificial Saliva at Fluctuating Temperatures. *Conference on Innovation in Technology and Engineering Science*. 602: 1-9.
- Mukhsinin, Ahmad., Nehru., dan M. Ficky Afrianto. 2019. Rancang Bangun Alat Pembuat Lapisan Tipis Metode Dip Coating Berbasis Arduino Uno. *JIFP (Jurnal Ilmu Fisika dan Pembelajarannya)*, 3(2): 76-83.
- Muntamah. 2011. Sintesis dan Karakterisasi Hidroksiapatit dari Limbah Cangkang Kerang Darah (*Anadara granosa*, sp). *Tesis*. Institut Pertanian Bogor.
- Musa, Bulkis, Indah Raya & Hasnah Natsir. 2016. Synthesis and Characterizations of Hydroxyapatite Derived Blood Clam Shells (*Anadara granosa*) and Its Potency. *International Journal of Applied Chemistry*, 12(4): 527-538.
- Naeli, Zurotun. 2022. Sintesis dan Karakterisasi Scaffold Komposit HA-CHA/Kolagen/Alginat/ dan HA-CHA/Kolagen/PVA/Alginat. *Skripsi*. Fakultas Matematika dan Ilmu Pengetahuan Alam. Institut Pertanian Bogor. Bogor.

- Nasution, Aini Hariyani., Rini Octavia Nasution., Desy Marlyn Situmorang., and Andrie Harmaji. 2019. Hydroxyapatite Synthesize From Pugilina Cochlidium and Babylonia Spirata, L Shells AsBbone Graft Materials Candidates in Periodontics. *Journal of Applied Science*, 1(2): 59-63.
- Nguyen, Dat Tan Nguyen., Khanh Loan Ly., Nam Minh Phuong Tran., Minh Hieu Ho., Trang Thi Phuong Tran., Thi Hiep Nguyen., et al. 2019. Effect of Microwave Irradiation on Polyvinyl Alcohol as a Carrier of Silver Nanoparticles in Short Exposure Time. Hindawi. *International Journal of Polymer Science*. 1-4.
- Noviyanti, Atiek Rostika., Haryono., Rinal., Pandu and Diana Rakhmawaty Eddy. 2017. Cangkang Telur Ayam Sebagai Sumber Klalsium dalam Pembuatan Hidroksiapatit untuk Aplikasi Graft Tulang. *Chemical at Natura Acta*. 5(3): 107-111.
- Nurhidayat, Akhliis Rahman Sari., A.P. Bayuseno., Rifky Ismail and Rilo Berdin Taqriban. 2021. Review of The Temperature and Holding Time Effects on Hydroxyapatite Fabrication from The Natural Sources. *Journal of Biomedical Science and Bioengineering*. 1(1): 27-31.
- Oyedotun, Temitope D. Timothy. 2018. *X-ray Fluorescence (XRF) in The Investigation of The Composition of Earth Materials: A Review and An Overview*. *Geology, Ecology and Landscapes*. 2(2): 148-154.
- Oza, Unnati., Hiral Parikh., Shilpa Duseja., and Charu Agrawal. 2020. Dental Implant Biomaterials: A Comprehensive Review. *International Journal of Dentistry Research*, 5(2): 87-92.
- Pokhrel, Shanta. 2018. Hydroxyapatite: Preparation, Properties and Its Biomedical Applications. *Advances in Chemical Engineering and Science* 8: 225-240.
- Prasada L, Krishna and Syed Manzoor Ul Haq Bukhari. 2019. Biomaterials In Restorative Dentistry And Endodontics: An Overview. *International Journal of Current Advanced Research*. 7(2): 10065-10070.
- Puad, N.A.S. Mohd., P. Koshy., H.Z. Abdullah., M.I. Idris and T.C. Lee. 2019. Syntheses of Hydroxyapatite from Natural Sources. *Heliyon*. 5(e01588): 1-14.
- Puspita, Fenty Wiana dan Sari Edi Cahyaningrum. 2017. Sintesis dan Karakteristik Hidroksiapatit dari Cangkang Telur Ayam Ras (Gallus gallus) Menggunakan Metode Pengendapan Basah. *UNESA Journal Of Chemistry*, 6(2).
- Puspitasari, Ana Mariyam., Dian Eka Ratnawati dan Agus Wahyu Widodo. 2018. Klasifikasi Penyakit Gigi Dan Mulut Menggunakan Metode Support Vector Machine. *Jurnal Pengembangan Teknologi Informasi dan Ilmu Komputer*. 2(2): 802-810.

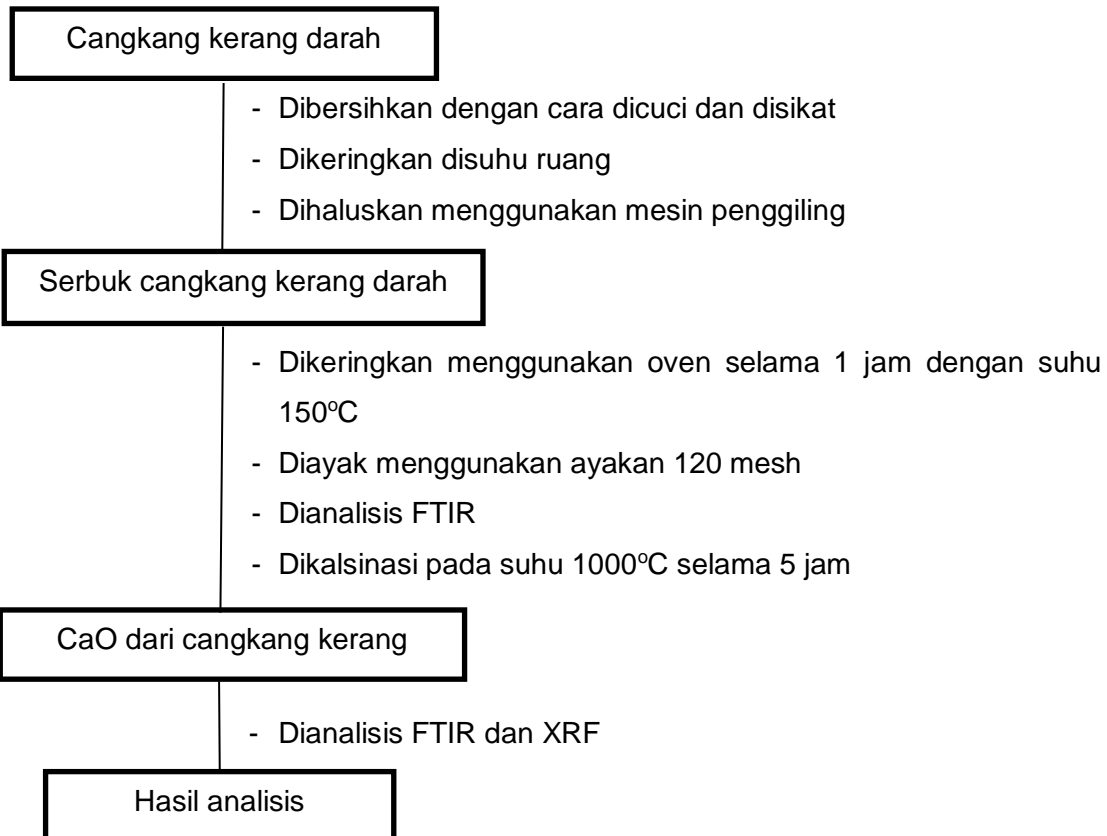
- Putro, Iqbal Widiyono Putro., Teguh Agung Prabowo., and Bambang Wahyudi. 2020. Kinetika Reaksi Sintesis Hidroksiapatit dari Cangkang Kerang Darah (Anadara Granosa Linn.) dengan Metode Presipitasi. Program Studi Teknik Kimia UPN "Veteran" Jawa Timur. ISSN: 1978-0427.
- Raflyani, Febbyola., Tri Wibawa., dan Sadi. 2021. Penentuan Komposisi Hidroksiapatit-Alginat-Zinc terhadap Kuat Tekan Bone Scaffold dengan Metode Taguchi. *Seminar Nasional Teknik dan Manajemen Industri dan Call for Paper (SENTEKMI)*. 1(1): 1-8.
- Rahajoeningsih, Poedji dan Rosida Manurung. 2013. Jenis - Jenis Gigi Tiruan Dukungan Implan. *Dentofasial*. 12 (1): 44 - 48.
- Ramakrishnan, Lalitha Sri., Unnikrishnan PS., Chinchu K Sabu., Amit G Krishnan & Manitha B Nair. 2021. Effect Of Wheat Gluten on Improved Thermal Cross-Linking and Osteogenesis Of Hydroxyapatite-Gelatin Composite Scaffolds. *International Journal of Biological Macromolecules*. 183: 1200-1209.
- Ranamaggala, Jonathan Angelo., Dewinta Intan Laily., Yossy Nur Annisa., and Sari Edi Cahyaningrum. 2019. Artikel Review Potensi Hidroksiapatit dari Tulang Ayam Sebagai Pelapis Impal Gigi. *Jurnal Kimia Riset*, 5(2): 141-150.
- Rasmiyanti., Vina Amalia dan Soni Setiadji. 2022. Sintesis dan Karakterisasi Komposit Hidroksiapatit/Kitosan/Alginat sebagai Injectable Bone Substitute (IBS). *Gunung Djati Conference Series*. 15: 82-90.
- Raya, Indah., Erna Mayasari., Afdaliah Yahya., Muhammad Syahrul and Andi Ilham Latunra. 2015. Shynthesis and Characterizations of Calcium Hydroxyapatite Derived from Crabs Shells (*Portunus pelagicus*) and Its Potency in Safeguard against to Dental Demineralizations. *Hindawi Publishing Corporation International Journal of Biomaterials*. 1-8.
- Ryzanur, M. Fahrul Ryzanur. A., Widodo dan Rosihan Adhani. 2022. Hubungan Antara Pengetahuan Kesehatan Gigi dengan Nilai Indeks DMF-T Siswa Sekolah Menengah Pertama. *Jurnal Kedokteran Gigi*. 4(1): 1-5.
- Saeed, Ghazi K., Abbas F. Essa and Saja Abdul-Ammer Said. 2020. Preparation and characterization of hydroxyapatite powder and study of hydroxyapatite-alumina Composite. *Journal of Physics: Conference Series*. 1591: 1-9.
- Salsabila, Chiesa., Candra Wahyuningsih., Diana Ayu Fitriana., Rina Sari Asih., Rejeki Siti Ferniah and Khoirin Nida. 2022. Semi-Manual Processing of Blood Clamps Waste into Chitosan Powder. *International Journal of Research in Community Service*. 3(1): 8-12.
- Sancilio, Silvia., Marialucia Gallorini., Chiara Di Nisio., Eleonora Marsich., Roberta Di Pietro., Helmut Schweikl and Amelia Cataldi. 2018. Alginate/Hydroxyapatite-Based Nanocomposite Scaffolds for Bone Tissue Engineering Improve Dental Pulp Biomineralization and Differentiation. *Hindawi. Stem Cells International*. 1-13.

- Santos, Anderson Cunha dos., George Goncalves dos Santos., Fulvio Borges Miguel., Joni Augusto Cirelli and Fabiana Paim Rosa. 2023. Hydroxyapatite, Alginate and Gelatin Composites Used for Bone Regeneration: A Systematic Review. *Research, Society and Development*. 12(3): 1-16.
- Sari, Mona., Puspa Hening., Chotimah., Ika Dewi Ana and Yusril Yusuf. 2021. Bioceramic Hydroxyapatite Based Scaffold With a Porous Structure Using Honeycomb as a Natural Polymeric Porogen for Bone Tissue Engineering. *Biomaterials Research*. 25(2): 1-13.
- Sari, Mona., Nicholas Adi Kristianto., Chotimah., Ika Dewi Ana and Yusril Yusuf. 2021. Carbonated Hydroxyapatite-Based Honeycomb Scaffold Coatings on a Titanium Alloy for Bone Implant Application Physicochemical and Mechanical Properties Analysis. *Coatings*. 11(941): 1-18.
- Scalera, Francesca., Alessandra Quarta., David M. Tobaldi., Robert C. Pullar and Clara Piccirillo. 2021. Cork-Derived Hierarchically Porous Hydroxyapatite with Different Stoichiometries for Biomedical and Environmental Applications. *Materials Chemistry Frontiers*. 5: 5071-5081.
- Setiadiputri, Juliani Nurazizah. 2018. Sintesis dan Karakterisasi Biokomposit Hidroksiapatit-Alginat-Zinc Sebagai Bone Graft untuk Penanganan Bone Defect. *Skripsi*. Fakultas Sains dan Teknologi. Universitas Airlangga.
- Sharifianjazi, Fariborz., Amir Hossein Paksereshtb., Mehdi Shahedi Aslc and Amirhossein Esmaeilkhania. 2020. Hydroxyapatite Consolidated By Zirconia: Applications For Dental Implant. *Journal of Composites and Compounds*, 2: 26-34.
- Shi, Hui., Ziqi Zhou., Wuda Li., Yuan Fan., Zhihua Li and Junchao Wei. 2021. Hydroxyapatite Based Materials for Bone Tissue Engineering: A Brief and Comprehensive Introduction. *Crystals*. 11(149): 1-18.
- Sinurat E, F R Dewi., D Fransiska and R Nurbayasari. 2022. Synthesis and Characterization of Hydroxyapatite of Cockle Shells (*Anadara granosa*) Originated from Indonesia Through Precipitation Method. *IOP Conf. Series: Earth and Environmental Science*. (1118): 1-11.
- Sirait M., K Sinulingga., N Siregar and R S D Siregar. 2020. Synthesis of Hydroxyapatite from Limestone by using Precipitation Method. *Journal of Physics: Conference Series*. (1462): 1-8.
- Szterner, Piotr and Monika Biernat. 2022. Effect of reaction time, heating and stirring rate on the morphology of HAp obtained by hydrothermal synthesis. *Journal of Thermal Analysis and Calorimetry*. 147: 13059–13071.
- Smeets, Ralf., Bernd Stadlinger., Frank Schwarz., Benedicta Beck-Broichsitter., Ole Jung., Clarissa Precht., Frank Kloss., Alexander Gröbe., Max Heiland., and Tobias Ebker. 2016. Review Article. Impact of Dental Implant Surface Modifications on Osseointegration. Hindawi Publishing Corporation. *BioMed Research International*. ID 6285620.

- Sulistiawati., Siti Rusdiana and Dewi Shinta. 2022. Karakterisasi Hidroksiapatit yang Disintesis dari Sisik Ikan Gabus (*Channa striata*) dengan Variasi Suhu Kalsinasi. *JKGM*. 4(1): 1-5.
- Tetelepta, Richard dan Edy Machmud. 2015. Pengaruh Penambahan Bahan Bioaktif Pada Implan Gigi Berdasarkan Pemeriksaan Histologi (Effect Of Addition Of Bioactive Materials On Dental Implant Based On The Histology Examination), 4(4): 135-142.
- Tontowi, Alva Edy., Adhi Anindyajati., Rina Tangkudung and Punto Dewo. 2018. Biocomposite of Hydroxyapatite/Gelatin/PVA for Bone Graft Application. *International Conference on Bioinformatics, Biotechnology and Biomedical Engineering (BioMIC)*. ISBN: 978-1-5386-7599-1.
- Ulfyana D., F Anugroho., S H Sumarlan and Y Wibisono. 2018. Bioceramics Synthesis of Hydroxyapatite from Red Snapper Fish Scales Biowaste using Wet Chemical Precipitation Route. *International Conference on Green Agro-industry and Bioeconomy*. 131(012038): 1-7.
- Utami, Difa Putri Utami., Decky Joesiana Indrani dan Yosi Kusuma Eriwati. 2019. Peran Metode Modifikasi Permukaan Implan terhadap Keberhasilan Osseointegrasi. Laporan Penelitian. Universitas Indonesia.
- Wahyudianto, Febri Eko. 2016. Studi Pemanfaatan Limbah Cangkang Kerang Darah (Anadara Granosa) Sebagai Adsorben  $Pb^{2+}$ ,  $Cu^{2+}$ , dan  $Zn^{2+}$ . Thesis. Jurusan Teknik Lingkungan. Fakultas Teknik Sipil dan Perencanaan. Institut Teknologi Sepuluh Nopember.
- Wulandari, Wulandari., Dini Muthiah Islami., Diana Vanda Wellia., Emriadi Emriadi., Vivi Sisca and Novesar Jamarun. 2023. The Effect of Alginate Concentration on Crystallinity, Morphology, and Thermal Stability Properties of Hydroxyapatite/Alginate Composite. *Polymers*. 15(614): 1-11.
- Yanti, Pepi Helza and Yendro Gandi. 2020. Pengaruh Waktu Kalsinasi Terhadap Sifat Fisika-Kimia Hidroksiapatit Dari Cangkang Geloina Coaxans. *Chem Prog*. 13(2): 102-106.
- Yenti, Silvia Reni., Ervina., Ahmad Fadli., & Idral Amri. 2016. Konversi Kulit Kerang Darah (Anadara granosa) Menjadi Serbuk Hidroksiapatit. *Teknologi Oleo Petro Kimia Indonesia Pekanbaru*. ISSN : 1907-0500: 89-94.
- Zafar, Muhammad Sohail., Muhammad Amber Fareed., Samiya Riaz., Muhammad Latif., Syed Rashid Habib and Zohaib Khurshid. 2020. Customized Therapeutic Surface Coatings for Dental Implants. *Coating*. 10(568): 1-37.
- Zhang, Hengtong., Junqiu Cheng dan Qiang Ao. 2021. Preparation of Alginate-Based Biomaterials and Their Applications in Biomedicine. *Journal Marine Durgs*. 19: 264.

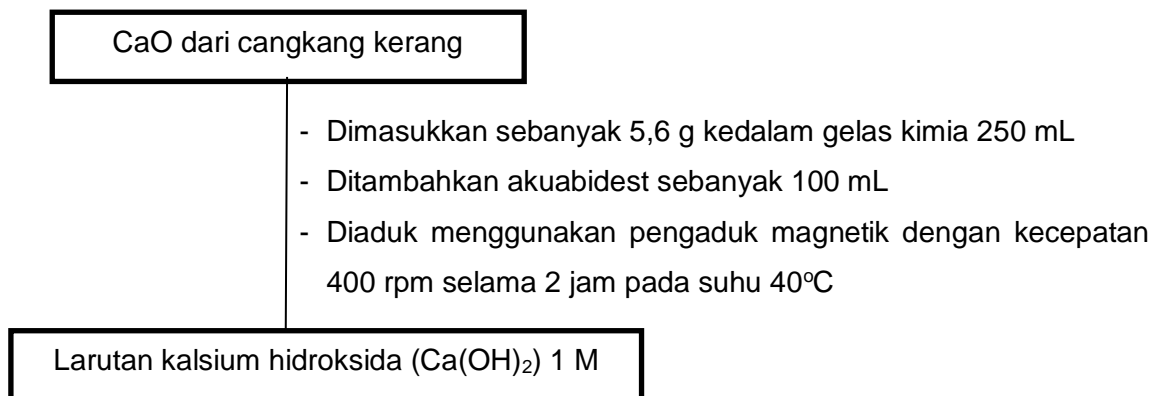
## LAMPIRAN 1. Bagan Kerja Penelitian

### 1. Preparasi Sampel

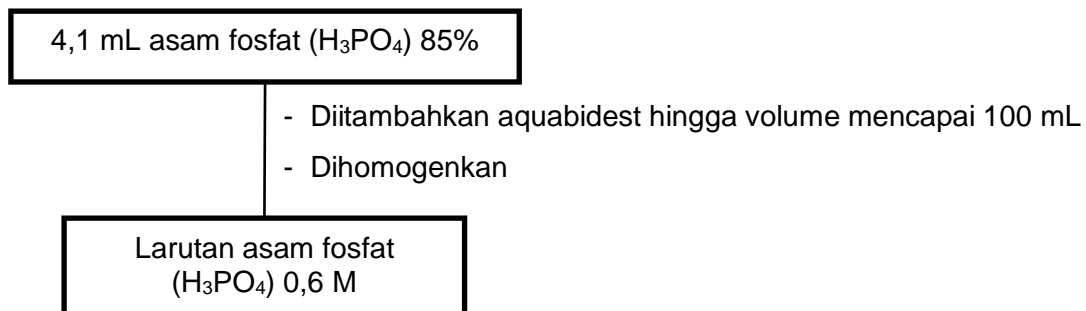


### 2. Pembuatan Larutan Kalsium Hidroksida dan Larutan Fosfat

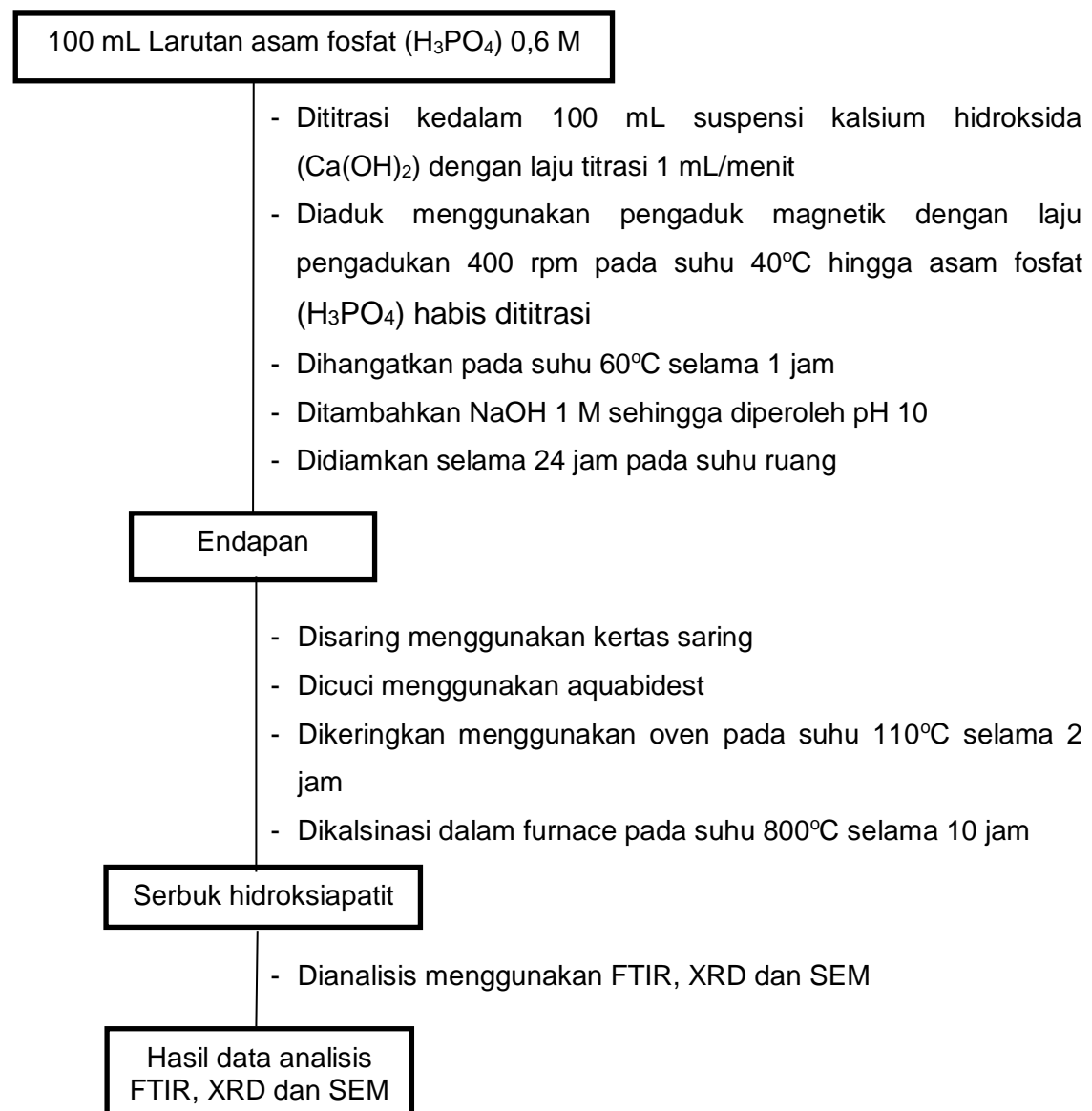
#### 2.1 Pembuatan Larutan Kalsium Hidroksida (Ca(OH)<sub>2</sub>) 1 M



## 2.2 Pembuatan Larutan Asam Fosfat ( $\text{H}_3\text{PO}_4$ ) 0,6 M

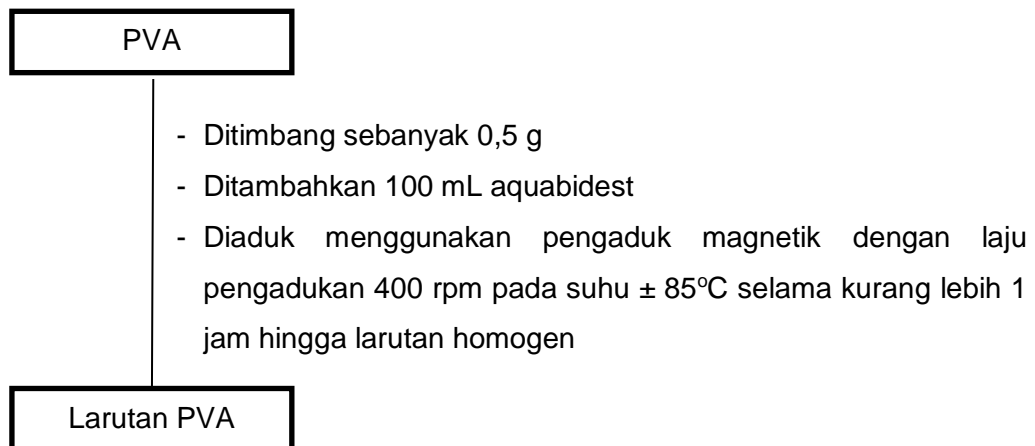


## 3. Sintesis Hidroksiapatit

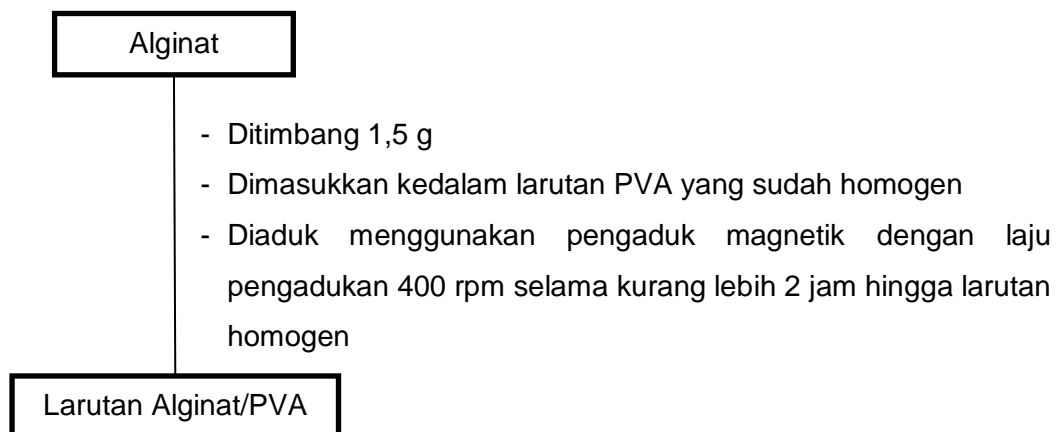


## 4. Sintesis Komposit Hidroksiapatit/Alginat/PVA

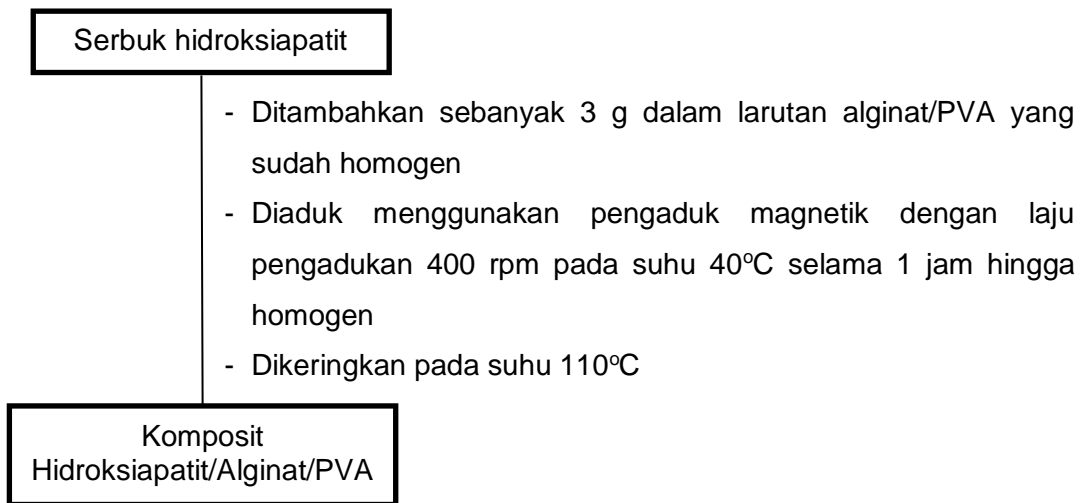
### 4.1 Pembuatan Larutan PVA



### 4.2 Pembuatan Larutan Komposit Alginat/PVA



### 4.3 Komposit Hidroksiapatit/Alginat/PVA



## 5. Pelapisan Implan Gigi dengan Metode *Dip Coating*

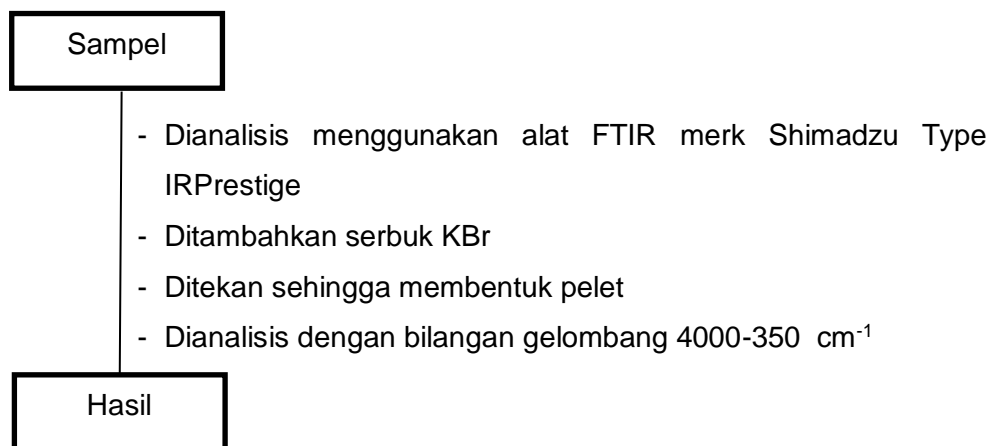
Logam Ti-6Al-4V

- Dipotong dengan ukuran panjang 1 cm, lebar 1 cm dan tebal 0,5 cm
- Dihaluskan menggunakan amplas
- Dicuci menggunakan etanol 70%
- Dibilas dengan aquabidest
- Ditimbang sebanyak 1 g PVA
- Dilarutkan dalam 20 mL aquabidest
- Diaduk menggunakan pengaduk magnetik dengan laju pengadukan 400 rpm pada suhu  $\pm 85^{\circ}\text{C}$  hingga larut
- Ditimbang sebanyak 5 g komposit hidroksiapatit/alginat/PVA
- Dimasukkan kedalam larutan PVA yang telah larut
- Diaduk menggunakan pengaduk magnetik dengan laju pengadukan 400 rpm pada suhu  $40^{\circ}\text{C}$  hingga homogen
- Dicelupkan logam Ti-6Al-4V kedalam larutan komposit hidroksiapatit/alginat/PVA yang telah homogen
- Diangkat logam Ti-6Al-4V yang telah terlapisi komposit hidroksiapatit/alginat/PVA
- Dikeringkan menggunakan oven pada suhu  $150^{\circ}\text{C}$  selama 1 jam
- Dianalisis menggunakan FTIR, XRD dan SEM, uji mekanik dan ketahanan korosi

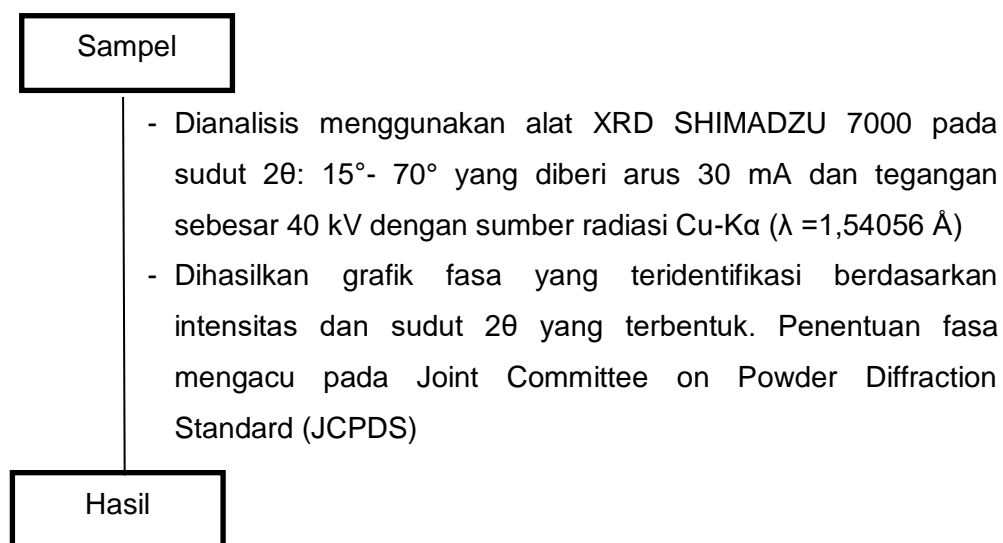
Hasil analisis FTIR, XRD, SEM, uji mekanik dan ketahanan korosi

## 6. Karakterisasi

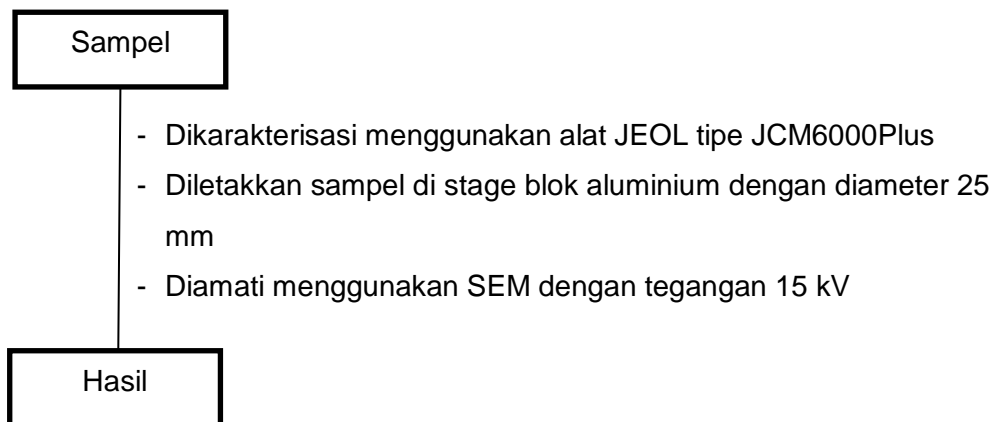
### 6.1 Karakterisasi Hidroksiapatit, Hidroksiapatit/Alginat, Pelapis Implan Gigi Hidroksiapatit/Alginat/PVA dengan FTIR



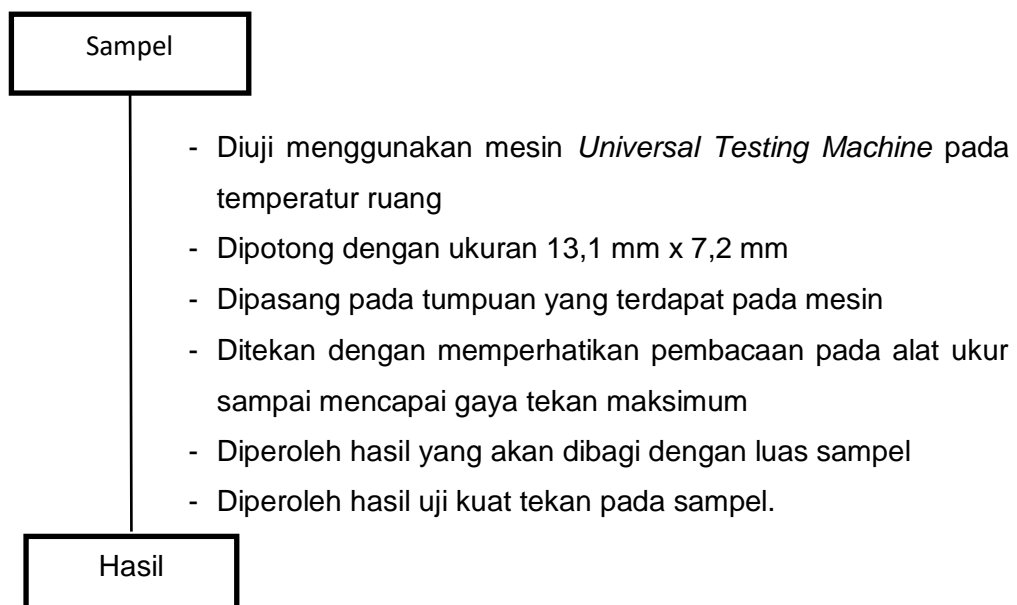
### 6.2 Karakterisasi Hidroksiapatit dan Pelapis Implan Gigi Hidroksiapatit/Alginat/PVA dengan XRD



### 6.3. Karakterisasi Hidroksiapatit dan Pelapis Implan Gigi Hidroksiapatit/Alginat/PVA dengan SEM



### 6.4 Uji Mekanik Pelapis Implan Gigi Hidroksiapatit/Alginat/PVA dengan Universal Testing Machine



## 6.5 Uji Ketahanan Korosi Pelapis Implan Gigi Hidroksiapatit/Alginat/PVA dengan *Potensiostat Corrtest CS350*

Sampel

- Dianalisis dengan alat Potensiostat Corrtest CS350
- Dipotong logam Ti6Al4V dan logam Ti6Al4V terlapis komposit hidroksiapatit/alginat/PVA dengan ukuran 1,4 cm x 1 cm
- Dipasang kabel dipasang pada sampel logam Ti6Al4V dan logam Ti6Al4V terlapis komposit hidroksiapatit/alginat/PVA untuk dihubungkan dengan alat uji korosi
- Dipasang rangkaian alat uji korosi dengan menggunakan tiga elektroda, sampel logam Ti6Al4V dan sampel logam Ti6Al4V terlapis komposit hidroksiapatit/alginat/PVA sebagai elektroda kerja. Dipasang bersamaan dengan elektroda platina sebagai elektroda bantu dan Ag/AgCl sebagai elektroda acuan serta larutan ringer laktat sebagai elektrolit. Dipasang rangkaian dan dicelupkan kedalam larutan ringer laktat
- Dilakukan proses pengujian pada temperatur ruang dengan menggunakan potensial yaitu -300 mV sampai +300 mV dengan laju pemindahan 0,167 mV/detik

Hasil

## LAMPIRAN 2. Data Analisa dan Hasil Analisa

### Data Analisa

#### 1. Pembuatan larutan kalsium hidroksida (Ca(OH)<sub>2</sub>) 1 M dalam 100 mL

$$M = \frac{\text{g CaO}}{\text{Mr CaO}} \times \frac{1000}{V}$$

$$\text{g CaO} = \frac{M \times \text{Mr CaO} \times V}{1000}$$

$$\text{g CaO} = \frac{1 \text{ mol/L} \times 56 \text{ g/mol} \times 100 \text{ mL}}{1000 \text{ mL/L}}$$

$$\text{CaO} = 5,6 \text{ g}$$

#### 2. Pembuatan larutan asam fosfat (H<sub>3</sub>PO<sub>4</sub>) 0,6 M dalam 100 mL

$$\begin{aligned} M &= \frac{\% \times \text{BJ} \times 1000}{\text{Mr}} \\ &= \frac{85\% \times 1,6845 \text{ g/mL} \times 1000 \text{ mL/L}}{98 \text{ g/mol}} \\ &= \frac{0,85 \times 1,6845 \text{ g/mL} \times 1000 \text{ mL/L}}{98 \text{ g/mol}} \\ &= 14,6 \text{ mol/L} \\ &= 14,6 \text{ M} \end{aligned}$$

Jadi volume yang dibutuhkan untuk pembuatan larutan asam fosfat 0,6 M dalam 100 mL yaitu sebagai berikut:

$$\begin{aligned} V_1 \times M_1 &= V_2 \times M_2 \\ V_1 \times 14,6 \text{ M} &= 100 \text{ mL} \times 0,6 \text{ M} \\ V_1 &= \frac{100 \text{ mL} \times 0,6 \text{ M}}{14,6 \text{ M}} \\ &= 4,1 \text{ mL} \end{aligned}$$

### 3. Pembuatan larutan NaOH 1 M dalam 100 mL

$$M = \frac{g \text{ NaOH}}{Mr \text{ NaOH}} \times \frac{1000}{V}$$

$$g \text{ NaOH} = \frac{M \times Mr \text{ NaOH} \times V}{1000}$$

$$= \frac{1 \text{ mol/L} \times 40 \text{ g/mol} \times 100 \text{ mL}}{1000 \text{ mL/L}}$$

$$= 4 \text{ g}$$

### 4. Perhitungan laju korosi :

#### 4.1 Logam Ti6Al4V tanpa lapisan

$$i_{\text{corr}} = 0,1068 \mu\text{A} / \text{cm}^2$$

$$i_{\text{corr}} = 0,1068 \times 10^{-6} \text{ A} / \text{cm}^2$$

$$CR = \frac{I_{\text{corr}}}{\rho} \text{ EW}$$

$$CR = \frac{0,1068 \times 10^{-6} \text{ A/cm}^2 \times 11.682 \text{ g/mol}}{4,51 \text{ g/cm}^3}$$

$$= 0,2766 \times 10^{-6} \text{ A.cm/mol}$$

CR dalam mm/y

$$CR \text{ (mm/y)} = \frac{0,2766 \times 10^{-6} \text{ A.cm/mol}}{96.485 \text{ C/mol}}$$

$$CR = \frac{0,2766 \times 10^{-6} \text{ A.cm/mol}}{96.485 \text{ A.detik/mol}}$$

$$= 2,866 \times 10^{-12} \text{ cm/detik}$$

$$= 2,866 \times 10^{-11} \text{ mm/detik}$$

$$CR \text{ (mm/y)} = 2,866 \times 10^{-11} \times \frac{\text{mm}}{\text{detik}} \times 3600 \frac{\text{detik}}{\text{jam}} \times 24 \frac{\text{jam}}{\text{hari}} \times 365 \frac{\text{hari}}{\text{tahun}}$$

$$= 0,000903 \text{ mm/y}$$

$$\begin{aligned} \text{CR (mpy)} &= \frac{0,000903 \text{ mm/y}}{0,0254 \text{ mm/mils}} \\ &= 0,0355 \text{ mpy} \end{aligned}$$

#### 4.2 Logam Ti6Al4V terlapis komposit hidroksiapatit/alginat/PVA

$$i_{\text{corr}} = 0,01807 \mu\text{A} / \text{cm}^2$$

$$i_{\text{corr}} = 0,01807 \times 10^{-6} \text{ A} / \text{cm}^2$$

$$\text{CR} = \frac{i_{\text{corr}}}{\rho} \text{ EW}$$

$$\begin{aligned} \text{CR} &= \frac{0,01807 \times 10^{-6} \text{ A/cm}^2 \times 11.682 \text{ g/mol}}{4,51 \text{ g/cm}^3} \\ &= 0,0468 \times 10^{-6} \text{ A.cm/mol} \end{aligned}$$

CR dalam mm/y

$$\text{CR (mm/y)} = \frac{0,0468 \times 10^{-6} \text{ A.cm/mol}}{96.485 \text{ C/mol}}$$

$$\begin{aligned} \text{CR} &= \frac{0,0468 \times 10^{-6} \text{ A.cm/mol}}{96.485 \text{ A.detik/mol}} \\ &= 4,85 \times 10^{-13} \text{ cm/detik} \\ &= 4,85 \times 10^{-12} \text{ mm/detik} \end{aligned}$$

$$\begin{aligned} \text{CR (mm/y)} &= 4,85 \times 10^{-12} \times \frac{\text{mm}}{\text{detik}} \times 3600 \frac{\text{detik}}{\text{jam}} \times 24 \frac{\text{jam}}{\text{hari}} \times 365 \frac{\text{hari}}{\text{tahun}} \\ &= 0,0001529 \text{ mm/y} \end{aligned}$$

$$\begin{aligned} \text{CR (mpy)} &= \frac{0,0001529 \text{ mm/y}}{0,0254 \text{ mm/mils}} \\ &= 0,00601 \text{ mpy} \end{aligned}$$

## Hasil Analisa

### 1. Karakterisasi cangkang kerang darah setelah kalsinasi dengan XRF



LABORATORIUM PENELITIAN DAN PENGEMBANGAN SAINS  
FAKULTAS MATEMATIKA DAN ILMU PENGETAHUAN ALAM  
UNIVERSITAS HASANUDDIN  
Jl. Perintis Kemerdekaan Km. 10 Tamalanrea, Makassar 90245  
Telp. 0411-586016 • Fax. 0411-588551 • Email : [lpps.fmipa.unhas@gmail.com](mailto:lpps.fmipa.unhas@gmail.com)

#### LAPORAN HASIL PENGUJIAN CERTIFICATE OF ANALYSIS

Nomor Pekerjaan : LPPS.XJ-2208-12/1

#### I. Pelanggan / Principal

1.1 Nama / Name : Andriani Usman  
1.2 Alamat / Address : Komp. Unhas Antang Komunikasi V blok i7/157  
1.3 Telepon / Phone : 088245738408  
1.4 Personil Penghubung / Contact Person : -  
1.5 Email / Email : andrianiiiiussmanrs@gmail.com

#### II. Contoh Uji / Sample

2.1 Kode Sampel / Sampel Code : -  
2.2 Kemasan / Packaging : Botol vial  
2.3 Nama Sampel / Sample Name : Cangkang Kerang Darah  
2.4 Keterangan Lain / Other Information : -  
2.5 Tanggal Sampling / Date of Sampling : -  
2.6 Diterima / Date of Received : 11 Agustus 2022  
2.7 Tanggal Uji / Date of Analysis : 18 Agustus 2022  
2.8 Jenis Uji / Type of Analysis : Unsur dan Oksida

#### III. Hasil Uji / Result

Parameter	Satuan	Hasil
Ca	m/m%	95.31
Fe	m/m%	4.23
Sr	m/m%	0.417
Nb	m/m%	0.0145
Mo	m/m%	0.0098
In	m/m%	0.0088
Sb	m/m%	0.0061
Sn	m/m%	0.006

Parameter	Satuan	Hasil
CaO	m/m%	95.81
Fe <sub>2</sub> O <sub>3</sub>	m/m%	3.84
SrO	m/m%	0.313
Nb <sub>2</sub> O <sub>5</sub>	m/m%	0.0131
MoO <sub>3</sub>	m/m%	0.0093
In <sub>2</sub> O <sub>3</sub>	m/m%	0.007

Makassar, 19 Agustus 2022  
Penanggung Jawab Mutu

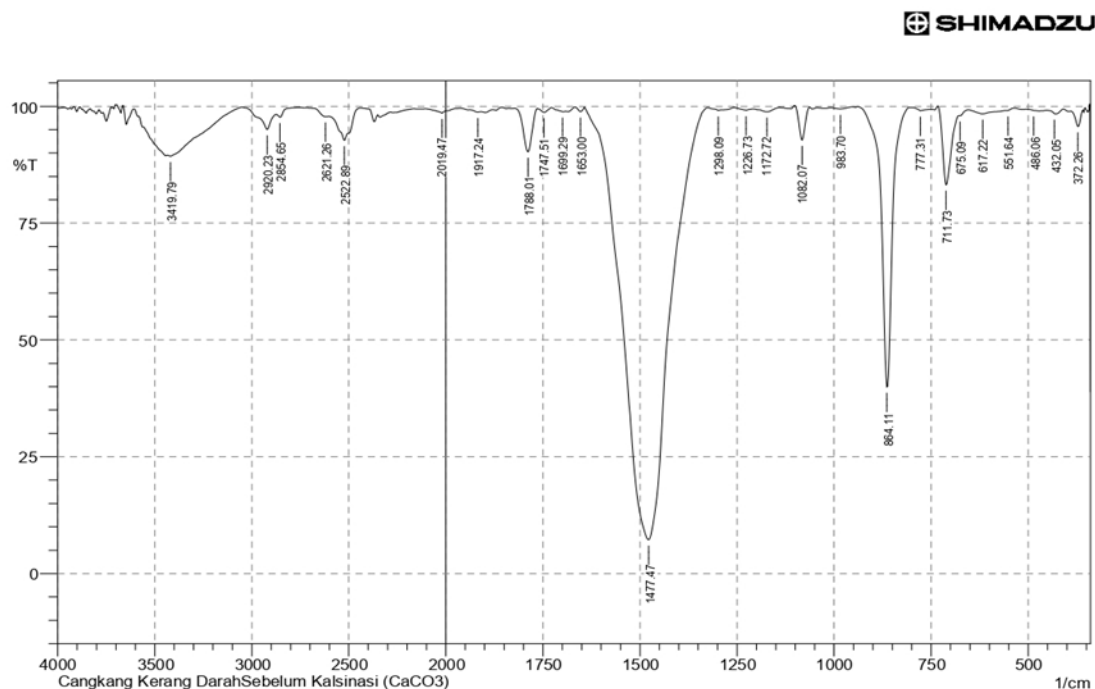
  
Prof. Dr. Nuhuk Hariani Soekamto, MS  
NIP. 19601215 198702 2 001

#### Catatan:

- Hasil Uji hanya berlaku untuk contoh tersebut di atas
- Dilarang mengutip/menyalin sebagian isi hasil uji ini

## 2. Karakterisasi dengan FTIR

### a. Cangkang kerang darah sebelum kalsinasi



No.	Peak	Intensity	Corr. Intensity	Base (H)	Base (L)	Area	Corr. Area
1	372.26	95.696	3.382	389.62	358.76	0.336	0.21
2	432.05	98.399	0.863	451.34	408.91	0.214	0.079
3	486.06	99.08	0.053	505.35	482.2	0.075	-0.003
4	551.64	99.07	0.127	555.5	536.21	0.056	0.001
5	617.22	98.387	0.813	653.87	555.5	0.518	0.165
6	675.09	97.98	0.22	678.94	653.87	0.151	0.002
7	711.73	83.194	15.996	731.02	678.94	2.002	1.753
8	777.31	99.04	0.536	800.46	746.45	0.151	0.044
9	864.11	39.95	59.871	937.4	802.39	10.416	10.314
10	983.7	99.455	0.323	1008.77	952.84	0.095	0.044
11	1062.07	92.788	7.212	1101.35	1062.78	0.554	0.554
12	1172.72	98.818	0.636	1195.87	1139.93	0.197	0.073
13	1226.73	99.156	0.382	1255.66	1209.37	0.122	0.036
14	1298.09	99.103	0.603	1325.1	1255.66	0.18	0.091
15	1477.47	7.256	92.394	1641.42	1325.1	99.549	99.065
16	1653	98.845	0.973	1664.57	1643.35	0.068	0.051
17	1699.29	98.842	0.184	1714.72	1691.57	0.102	0.009
18	1747.51	98.698	0.86	1761.01	1728.22	0.126	0.066
19	1788.01	90.262	9.19	1820.8	1766.8	1.121	0.996
20	1917.24	98.756	0.159	1938.46	1911.46	0.121	0.008
21	2019.47	98.54	1.012	2104.34	1963.53	0.532	0.249
22	2522.89	92.741	2.187	2601.97	2503.6	2.034	0.316
23	2621.26	97.79	0.272	2750.49	2603.9	0.604	-0.18
24	2854.65	97.665	0.82	2873.94	2750.49	0.466	-0.08
25	2920.23	95.058	3.604	3051.39	2873.94	1.723	0.973
26	3419.79	89.322	0.552	3433.29	3051.39	9.151	0.256

Comment;

Cangkang Kerang DarahSebelum Kalsinasi (CaCO3)

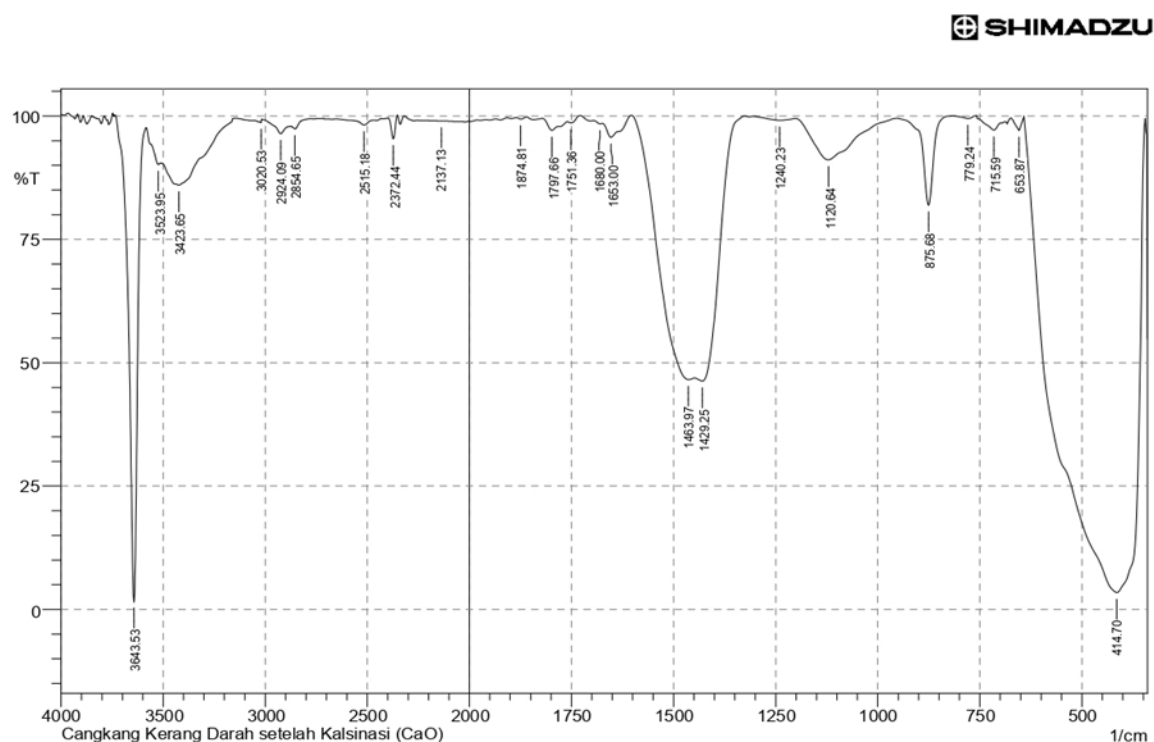
Date/Time; 8/3/2023 3:12:29 PM

No. of Scans;

Resolution;

Apodization;

## b. Cangkang kerang darah setelah kalsinasi

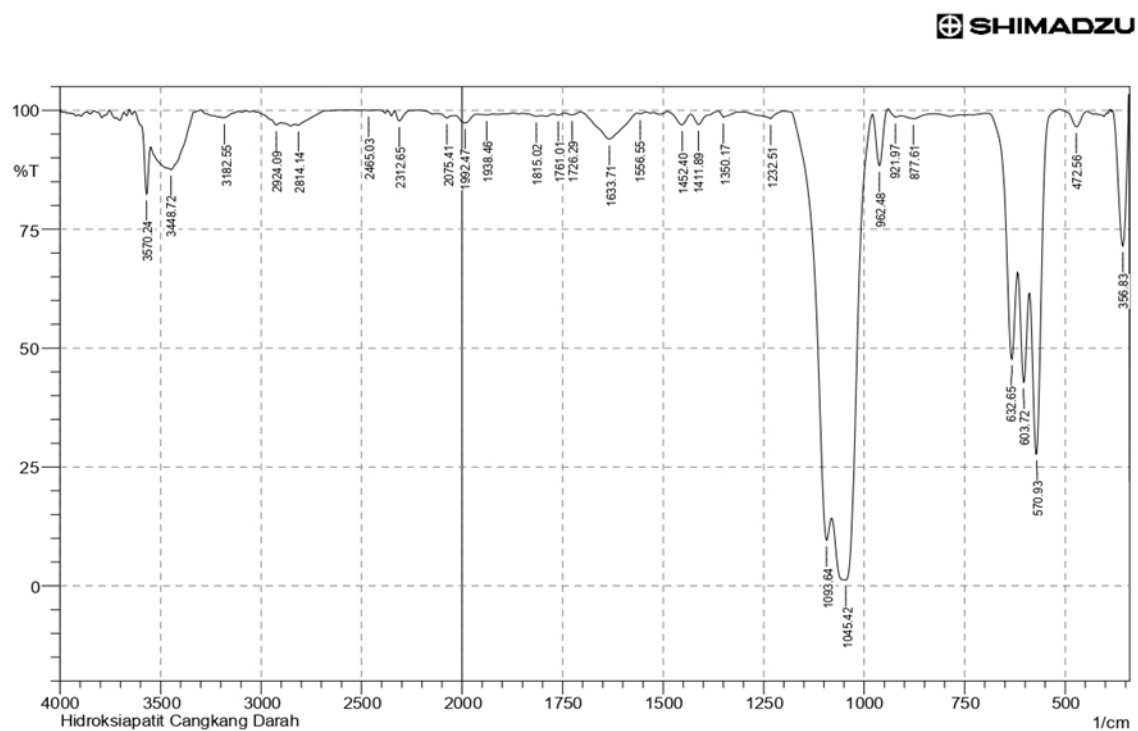


No.	Peak	Intensity	Corr. Intensity	Base (H)	Base (L)	Area	Corr. Area
1	414.7	3.431	94.972	642.3	347.19	211.034	209.606
2	653.87	97.095	2.65	675.09	642.3	0.217	0.176
3	715.59	97.135	1.913	758.02	698.23	0.454	0.287
4	779.24	99.497	0.601	815.89	758.02	0.048	0.07
5	875.68	81.951	17.892	952.84	817.82	2.519	2.408
6	1120.64	91.126	8.393	1199.72	954.76	4.705	4.204
7	1240.23	99.138	0.536	1303.88	1201.65	0.257	0.136
8	1429.25	46.262	8.323	1446.61	1327.03	18.575	2.275
9	1463.97	46.593	5.614	1602.85	1448.54	28.307	3.839
10	1653	95.69	3.307	1674.21	1602.85	0.785	0.576
11	1680	98.412	0.239	1697.36	1674.21	0.13	0.008
12	1751.36	98.611	0.561	1759.08	1730.15	0.111	0.044
13	1797.66	97.111	1.432	1820.8	1782.23	0.333	0.115
14	1874.81	99.376	0.363	1884.45	1859.38	0.048	0.021
15	2137.13	98.972	0.033	2254.79	2113.98	0.589	0.007
16	2372.44	95.387	4.568	2397.52	2353.16	0.431	0.415
17	2515.18	98.166	1.049	2655.98	2463.1	0.86	0.246
18	2854.65	97.398	0.852	2875.86	2779.42	0.598	0.039
19	2924.09	96.413	1.971	3016.67	2877.79	1.259	0.412
20	3020.53	98.67	0.669	3053.32	3018.6	0.166	0.049
21	3423.65	86.001	6.556	3510.45	3167.12	13.731	5.37
22	3523.95	90.18	1.464	3581.81	3512.37	2.243	0.33
23	3643.53	1.661	96.997	3736.12	3583.74	42.484	41.759

Comment;  
Cangkang Kerang Darah setelah Kalsinasi (CaO)

Date/Time; 8/3/2023 3:06:42 PM  
No. of Scans;  
Resolution;  
Apodization;

### c. Hidroksiapatit dari CaO cangkang kerang darah

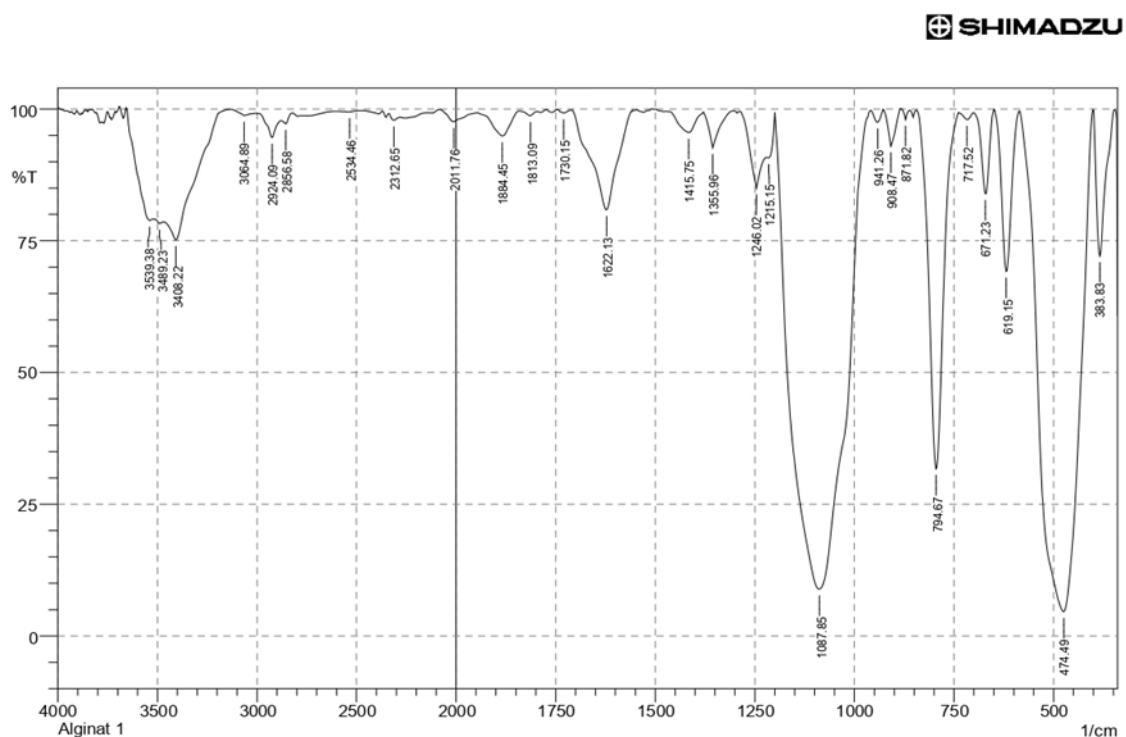


No.	Peak	Intensity	Corr. Intensity	Base (H)	Base (L)	Area	Corr. Area
1	356.83	71.463	26.912	381.91	343.33	3.011	2.785
2	472.56	96.555	3.384	514.99	445.56	0.386	0.381
3	570.93	27.714	43.244	588.29	516.92	12.287	6.547
4	603.72	42.841	20.733	617.22	590.22	7.705	2.359
5	632.65	47.696	24.222	694.37	619.15	8.391	2.775
6	877.61	98.263	0.761	908.47	827.46	0.439	0.112
7	921.97	98.537	0.923	941.26	908.47	0.125	0.066
8	962.48	88.388	11.29	979.84	941.26	0.975	0.931
9	1045.42	1.22	42.414	1080.14	979.84	83.178	44.339
10	1093.64	9.642	12.969	1199.72	1082.07	30.966	2.95
11	1232.51	98.271	1.507	1300.02	1199.72	0.384	0.275
12	1350.17	98.542	1.223	1363.67	1315.45	0.172	0.118
13	1411.89	97.036	2.328	1431.18	1363.67	0.409	0.26
14	1452.4	96.978	2.441	1489.05	1431.18	0.42	0.295
15	1556.55	99.292	0.205	1562.34	1543.05	0.048	0.01
16	1633.71	93.967	5.58	1703.14	1564.27	2.011	1.736
17	1726.29	99.04	0.521	1743.65	1705.07	0.119	0.048
18	1761.01	99.013	0.303	1772.58	1743.65	0.102	0.019
19	1815.02	98.745	0.28	1851.66	1803.44	0.198	0.017
20	1641.42	99.069	0.085	1948.1	1921.1	0.102	0.005
21	1992.47	97.365	1.702	2032.97	1963.53	0.531	0.24
22	2075.41	98.416	0.616	2121.7	2050.33	0.349	0.069
23	2312.65	97.799	2.116	2337.72	2264.43	0.347	0.326
24	2465.03	100.004	0.018	2488.17	2438.02	-0.003	0.002
25	2814.14	96.862	0.517	2831.5	2671.41	1.087	0.088
26	2924.09	96.935	0.818	3041.74	2902.87	0.901	0.051
27	3182.55	98.444	1.454	3302.13	3113.11	0.759	0.702
28	3448.72	87.572	7.894	3549.02	3302.13	8.914	4.759
29	3570.24	82.397	11.761	3628.1	3550.95	2.546	1.146

Comment;  
Hidroksiapatit Cangkang Darah

Date/Time; 3/3/2023 11:49:30 AM  
No. of Scans;  
Resolution;  
Apodization;

## d. Alginat

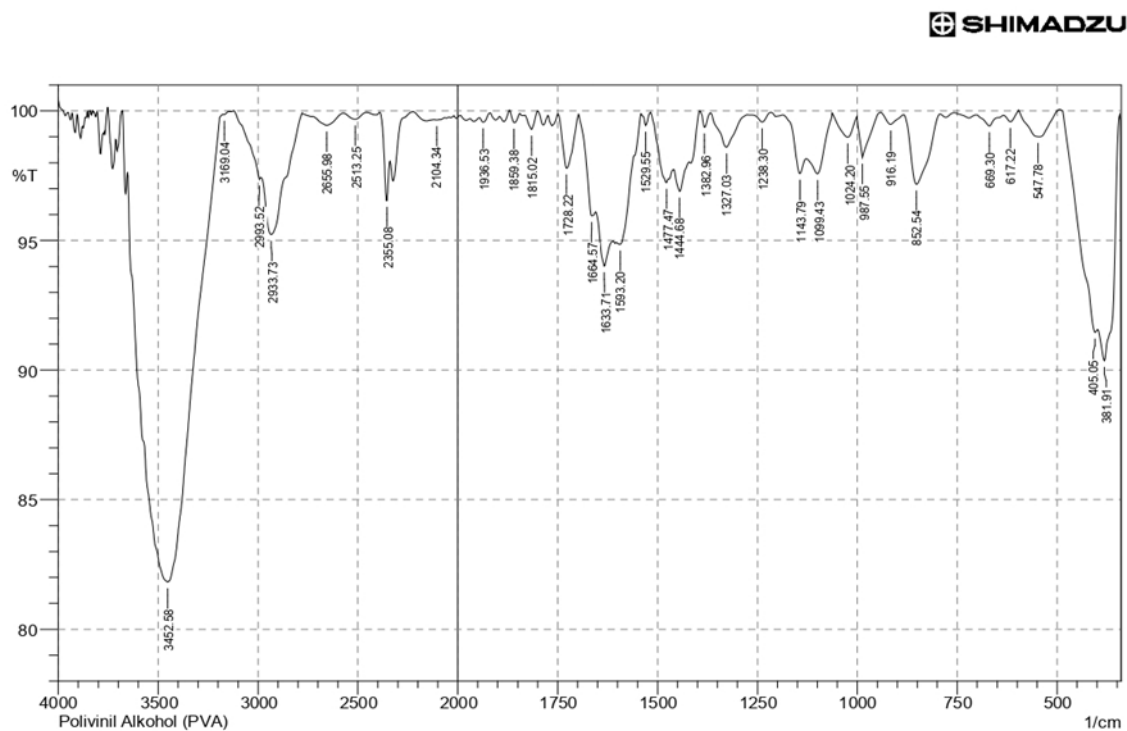


	Peak	Intensity	Corr. Intensity	Base (H)	Base (L)	Area	Corr. Area
1	383.83	72.117	27.465	399.26	347.19	3.414	3.343
2	474.49	4.628	95.127	584.43	401.19	100.219	100.001
3	619.15	69.186	30.535	648.08	586.36	4.189	4.112
4	671.23	83.941	15.711	700.16	650.01	1.626	1.543
5	717.52	98.006	1.3	738.74	700.16	0.223	0.107
6	794.67	31.779	67.76	842.89	738.74	16.837	16.619
7	871.82	98.02	1.894	883.4	862.18	0.068	0.061
8	908.47	93.003	6.998	927.76	883.4	0.608	0.61
9	941.26	97.492	2.357	958.62	927.76	0.202	0.18
10	1087.85	8.883	89.487	1197.79	960.55	113.64	112.045
11	1215.15	90.765	2.396	1220.94	1199.72	0.712	0.241
12	1246.02	85.013	9.15	1286.52	1220.94	2.582	1.113
13	1355.96	92.646	6.833	1379.1	1307.74	0.984	0.836
14	1415.75	95.561	3.906	1465.9	1379.1	0.966	0.769
15	1622.13	80.896	18.909	1708.93	1556.55	6.409	6.28
16	1730.15	99.262	0.249	1735.93	1710.86	0.055	0.013
17	1813.09	98.722	0.838	1843.95	1797.66	0.151	0.065
18	1884.45	94.905	4.574	1946.18	1843.95	1.199	0.954
19	2011.76	97.584	2.009	2083.12	1946.18	0.79	0.555
20	2312.65	97.873	0.961	2339.65	2279.86	0.442	0.128
21	2534.46	99.452	0.205	2603.9	2482.39	0.232	0.045
22	2856.58	97.224	1.08	2877.79	2818	0.488	0.1
23	2924.09	94.6	3.741	2987.74	2879.72	1.466	0.733
24	3064.89	98.773	0.774	3128.54	3007.02	0.403	0.172
25	3408.22	75.188	7.245	3468.01	3136.25	19.218	3.051
26	3489.23	78.299	0.523	3512.37	3469.94	4.442	0.059
27	3539.38	78.841	2.73	3657.04	3523.95	8.46	1.677

Comment;  
Alginat 1

Date/Time; 4/17/2023 11:06:51 AM  
No. of Scans;  
Resolution;  
Apodization;

## e. Polivinil alkohol (PVA)



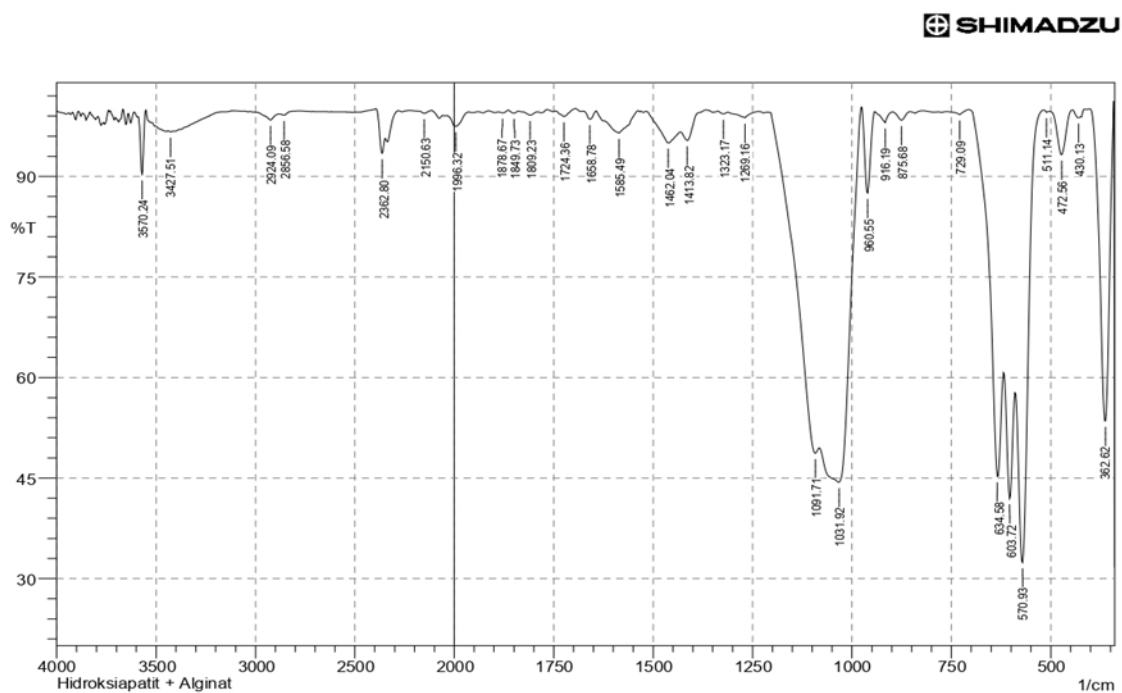
No.	Peak	Intensity	Corr. Intensity	Base (H)	Base (L)	Area	Corr. Area
1	381.91	90.36	3.564	397.34	343.33	1.714	0.701
2	405.05	91.457	0.673	486.06	399.26	1.889	0.192
3	547.78	99.008	0.039	596	545.85	0.134	0.028
4	617.22	99.58	0.339	634.58	596	0.042	0.03
5	669.3	99.417	0.422	704.02	634.58	0.099	0.051
6	852.54	97.169	2.694	885.33	792.74	0.625	0.572
7	916.19	99.485	0.418	941.26	885.33	0.078	0.053
8	987.55	98.201	1.617	1001.06	941.26	0.222	0.186
9	1024.2	98.982	0.852	1062.78	1001.06	0.175	0.135
10	1099.43	97.575	1.36	1128.36	1062.78	0.479	0.203
11	1143.79	97.584	1.022	1186.22	1128.36	0.316	0.063
12	1238.3	99.571	0.329	1263.37	1217.08	0.051	0.03
13	1327.03	98.603	1.289	1367.53	1276.88	0.287	0.243
14	1382.96	99.375	0.595	1394.53	1367.53	0.036	0.032
15	1444.68	96.898	0.958	1460.11	1421.54	0.436	0.078
16	1477.47	97.238	0.36	1517.98	1473.62	0.317	0.056
17	1529.55	99.433	0.483	1541.12	1517.98	0.028	0.02
18	1593.2	94.854	0.851	1602.85	1541.12	0.864	0.151
19	1633.71	94.016	1.547	1654.92	1610.56	1.026	0.146
20	1664.57	95.949	0.233	1697.36	1662.64	0.299	-0.022
21	1728.22	97.789	2.086	1749.44	1697.36	0.283	0.254
22	1815.02	99.285	0.636	1832.38	1799.59	0.057	0.045
23	1859.38	99.546	0.429	1870.95	1843.95	0.031	0.027
24	1936.53	99.568	0.236	1946.18	1919.17	0.035	0.015
25	2104.34	99.653	0.014	2117.84	2090.84	0.04	0.001
26	2355.08	96.536	2.077	2391.73	2339.65	0.401	0.173
27	2513.25	99.677	0.253	2574.97	2457.31	0.102	0.066
28	2655.98	99.445	0.398	2725.42	2574.97	0.241	0.142
29	2933.73	95.231	2.804	2983.88	2779.42	2.514	1.328
30	2993.52	97.353	0.223	3120.82	2985.81	0.7	-0.061
31	3169.04	99.86	0.026	3174.83	3143.97	0.011	0.001
32	3452.58	81.824	16.738	3653.18	3176.76	24.568	21.938

Date/Time; 4/17/2023 11:19:02 AM

No. of Scans;

Resolution;

## f. Komposit hidroksiapatit/alginat

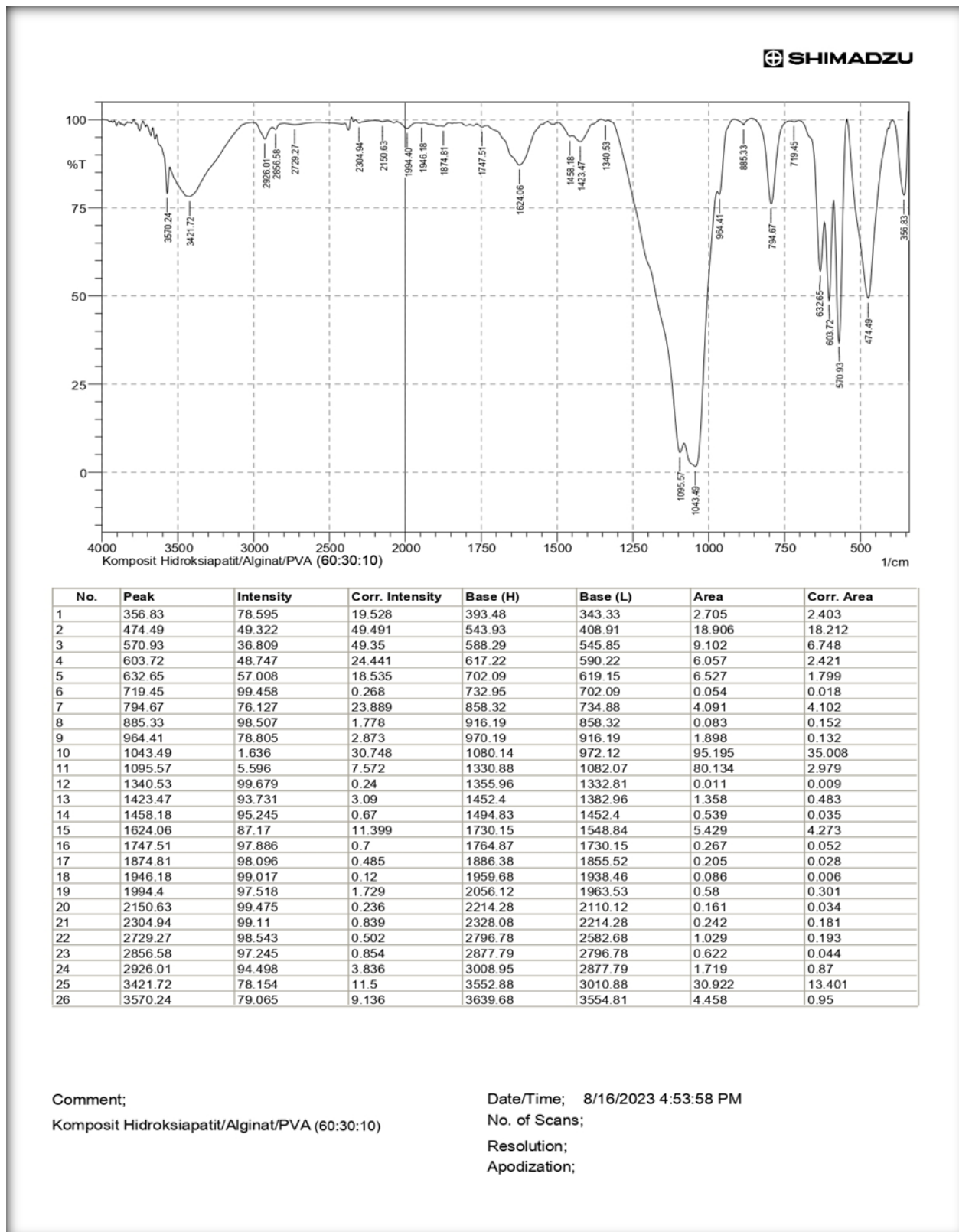


No.	Peak	Intensity	Corr. Intensity	Base (H)	Base (L)	Area	Corr. Area
1	362.62	53.517	45.098	401.19	343.33	6.639	6.37
2	430.13	98.762	0.438	443.63	424.34	0.077	0.027
3	472.56	93.239	6.567	505.35	447.49	0.74	0.687
4	511.14	99.581	0.203	518.85	505.35	0.016	0.004
5	570.93	32.428	35.699	588.29	518.85	12.799	5.84
6	603.72	41.979	17.129	617.22	590.22	8.214	2.025
7	634.58	45.242	22.434	705.95	619.15	11.133	2.939
8	729.09	99.228	0.617	761.88	705.95	0.099	0.056
9	875.68	98.408	1.245	898.83	854.47	0.177	0.11
10	916.19	98.032	1.614	943.19	898.83	0.193	0.126
11	960.55	87.513	12.492	975.98	943.19	0.903	0.901
12	1031.92	44.374	29.149	1082.07	975.98	26.158	10.352
13	1091.71	48.704	3.949	1203.58	1083.99	17.235	0.719
14	1269.16	98.754	0.882	1311.59	1234.44	0.244	0.12
15	1323.17	99.34	0.306	1336.67	1311.59	0.056	0.018
16	1413.82	95.366	2.167	1431.18	1367.53	0.63	0.146
17	1462.04	95.015	2.709	1517.98	1431.18	1.21	0.496
18	1585.49	96.484	2.496	1624.06	1537.27	0.872	0.515
19	1658.78	98.549	1.201	1676.14	1643.35	0.118	0.082
20	1724.36	98.955	0.962	1745.58	1695.43	0.114	0.102
21	1809.23	99.141	0.498	1826.59	1789.94	0.096	0.039
22	1849.73	99.454	0.339	1865.17	1840.09	0.042	0.021
23	1878.67	99.494	0.246	1888.31	1865.17	0.04	0.016
24	1996.32	97.482	1.911	2038.76	1963.53	0.496	0.286
25	2150.63	99.425	0.431	2222	2113.98	0.147	0.077
26	2362.8	93.461	3.705	2393.66	2347.37	0.764	0.333
27	2856.58	99.145	0.269	2879.72	2779.42	0.208	0.005
28	2924.09	98.429	0.996	3026.31	2879.72	0.532	0.213
29	3427.51	96.653	0.133	3441.01	3415.93	0.364	0.008
30	3570.24	90.266	9.167	3591.46	3550.95	0.823	0.718

Comment;  
Hidroksiapatit + Alginat

Date/Time; 3/30/2023 11:08:15 AM  
No. of Scans;  
Resolution;  
Apodization;

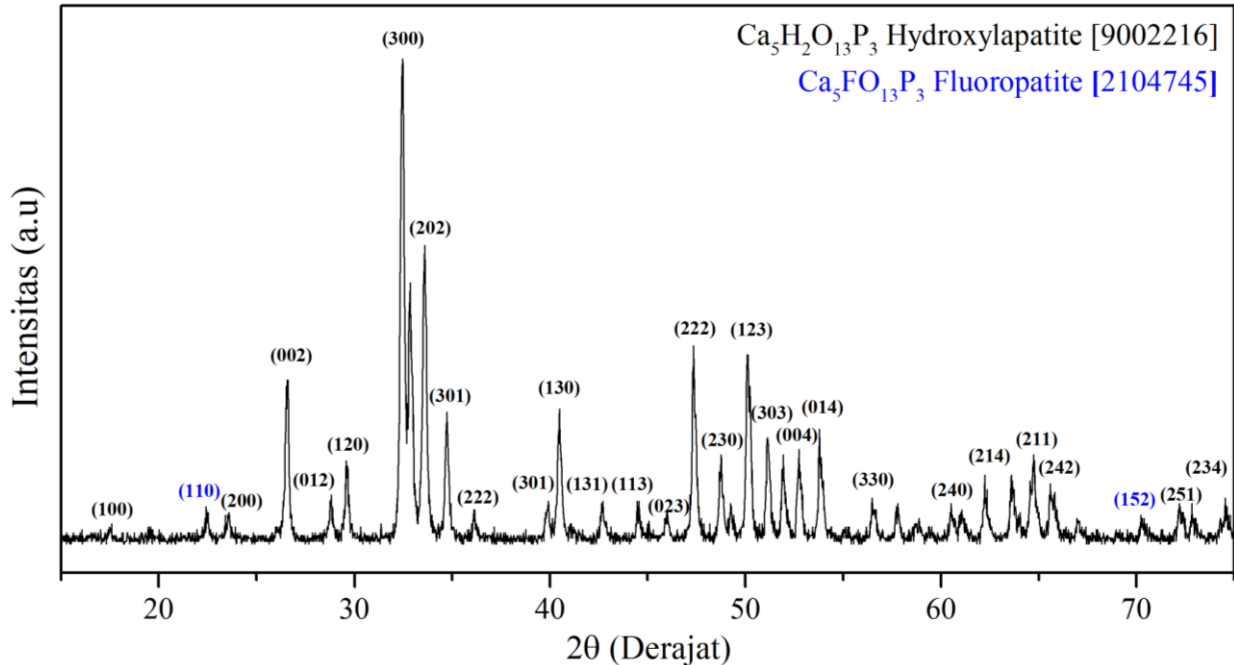
### g. Pelapis implan gigi hidroksiapatit/alginat/PVA



### 3. Karakterisasi dengan XRD

#### a. Hidroksiapatit dari CaO cangkang kerang darah

#### XRD Pattern



#### References

Formula sum	Ca <sub>5</sub> H <sub>2</sub> O <sub>13</sub> P <sub>3</sub>
Entry number	96-900-2217
Figure-of-Merit (FoM)	0.867074
Total number of peaks	134
Peaks in range	73
Peaks matched	63
Intensity scale factor	1.00
Space group	P 63/m
Crystal system	hexagonal
Unit cell	a= 9.4232 Å c= 6.8833 Å
I/Cor	1.59
Calc. density	3.157 g/cm <sup>3</sup>
Reference	Wilson R. M., Elliot J. C., Dowker S. E. P., "Rietveld refinement of the crystallographic structure of human dental enamel apatites Sample: Prep.63b, synthetic", American Mineralogist <b>84</b> , 1406-1414 (1999)
Formula sum	Ca <sub>4.852</sub> F <sub>0.89</sub> O <sub>12</sub> P <sub>3</sub> Sr <sub>0.148</sub>
Entry number	96-900-1389
Figure-of-Merit (FoM)	0.783678
Total number of peaks	133
Peaks in range	72
Peaks matched	59
Intensity scale factor	1.35
Space group	P 63/m
Crystal system	hexagonal
Unit cell	a= 9.3786 Å c= 6.8922 Å
I/Cor	1.77
Calc. density	3.221 g/cm <sup>3</sup>
Reference	Hughes J.M, Cameron M, Crowley K.D, "Ordering of divalent cations in the apatite structure: Crystal structure refinements of natural Mn- and Sr-bearing apatite sample Sr.29", American Mineralogist <b>76</b> , 1857-1862 (1991)

#### Percentage

Hydroxyapatite = ~98%

Fluorapatite = ~2%

## \*\*\* Basic Data Process \*\*\*

Group : Standard  
Data : hidro#andriani

## # Strongest 3 peaks

no. peak	2Theta (deg)	d (A)	I/I1	FWHM (deg)	Intensity (Counts)	Integrated Int (Counts)	
1	8	32.4269	2.75879	100	0.20610	227	2521
2	10	33.5640	2.66788	59	0.21460	134	1607
3	9	32.8335	2.72555	48	0.22090	109	1425

## # Peak Data List

peak no.	2Theta (deg)	d (A)	I/I1	FWHM (deg)	Intensity (Counts)	Integrated Int (Counts)
1	22.4400	3.95885	5	0.18000	11	118
2	23.5250	3.77866	4	0.21000	10	115
3	26.5322	3.35681	34	0.18440	77	819
4	26.7800	3.32631	3	0.04000	7	32
5	28.7766	3.09990	7	0.19330	16	193
6	29.5866	3.01685	16	0.18670	36	397
7	32.1800	2.77939	6	0.05340	13	70
8	32.4269	2.75879	100	0.20610	227	2521
9	32.8335	2.72555	48	0.22090	109	1425
10	33.5640	2.66788	59	0.21460	134	1607
11	34.7100	2.58238	25	0.19500	57	637
12	36.1050	2.48573	6	0.15000	13	149
13	39.8483	2.26043	6	0.19670	14	137
14	40.4542	2.22796	26	0.19430	60	642
15	42.6500	2.11820	8	0.18000	18	205
16	44.4858	2.03496	7	0.16170	17	183
17	45.9600	1.97306	5	0.20000	11	123
18	47.3286	1.91914	43	0.18000	98	914
19	47.5600	1.91034	5	0.10000	12	140
20	48.7216	1.86748	18	0.17670	41	419
21	49.2393	1.84905	7	0.14530	15	140
22	50.1071	1.81904	44	0.19680	99	1138
23	51.1267	1.78513	23	0.18220	53	532
24	51.9092	1.76005	17	0.17350	39	378
25	52.1983	1.75098	4	0.09670	8	40
26	52.7123	1.73511	19	0.19130	43	472
27	53.7841	1.70303	23	0.17830	53	494
28	54.0200	1.69615	5	0.12000	11	110
29	56.5016	1.62740	9	0.18330	21	242
30	57.7450	1.59528	7	0.21000	17	196
31	58.6950	1.57170	4	0.11000	9	75
32	58.9300	1.56599	3	0.08000	7	41
33	60.5250	1.52849	6	0.17000	14	122
34	61.0300	1.51704	5	0.18000	11	121
35	62.2375	1.49048	12	0.20500	27	358
36	63.6000	1.46179	14	0.20000	31	345
37	64.0300	1.45301	4	0.14000	10	58
38	64.6000	1.44156	12	0.22000	28	232
39	64.7200	1.43917	14	0.23000	32	305
40	65.6050	1.42189	12	0.19000	28	281
41	65.8600	1.41700	4	0.16000	10	101
42	66.9900	1.39581	5	0.18000	12	147
43	70.2700	1.33848	4	0.18000	10	114
44	72.2083	1.30724	7	0.20330	16	182
45	72.8383	1.29748	5	0.14330	12	96
46	74.5616	1.27171	6	0.18330	13	185

## \*\*\* Basic Data Process \*\*\*

```
# Data Infomation
  Group           : Standard
  Data            : hidro#andriani
  Sample Nmae    : serbuk
  Comment         :
  Date & Time     : 07-28-23 11:53:49

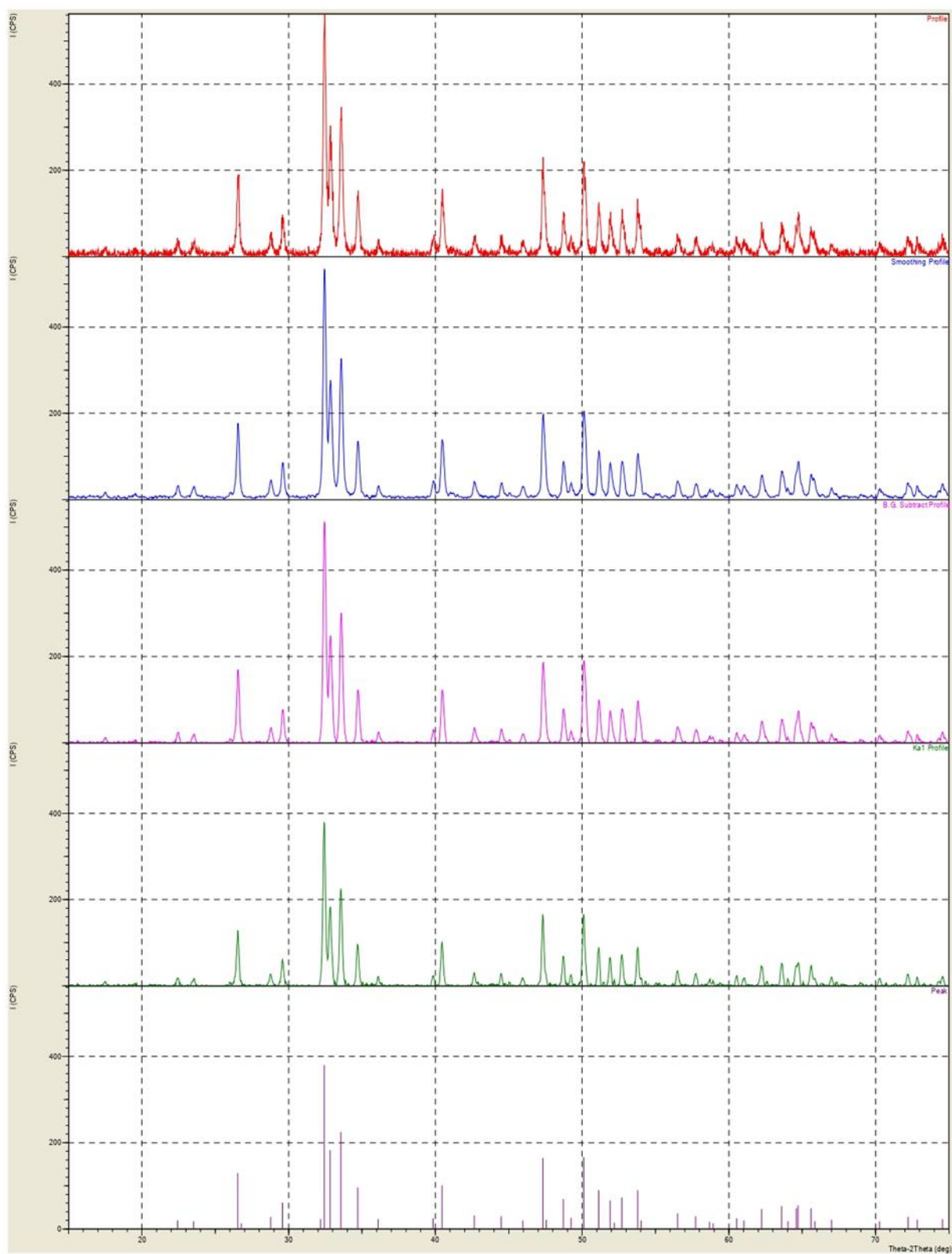
# Measurement Condition
  X-ray tube
  target          : Cu
  voltage         : 40.0 (kV)
  current         : 30.0 (mA)

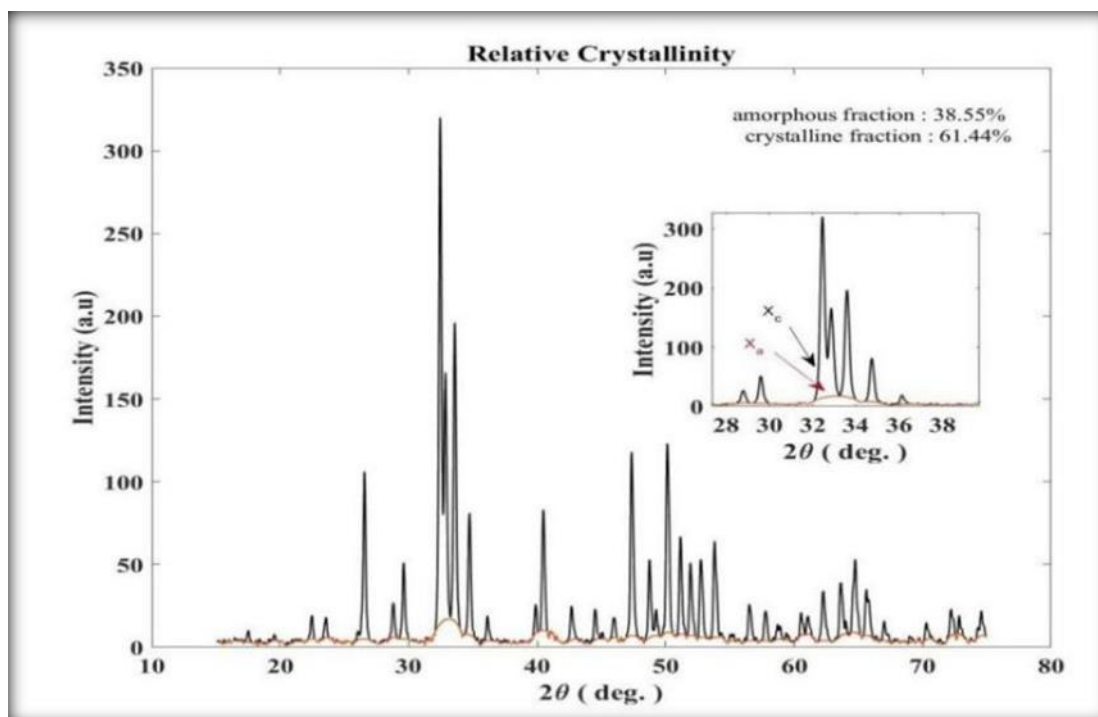
  Slits
  Auto Slit       : not Used
  divergence slit : 1.00000 (deg)
  scatter slit    : 1.00000 (deg)
  receiving slit  : 0.30000 (mm)

  Scanning
  drive axis      : Theta-2Theta
  scan range      : 15.0000 - 75.0000 (deg)
  scan mode       : Continuous Scan
  scan speed      : 2.0000 (deg/min)
  sampling pitch  : 0.0200 (deg)
  preset time     : 0.60 (sec)

# Data Process Condition
  Smoothing       [ AUTO ]
  smoothing points : 13
  B.G.Subtraction [ AUTO ]
  sampling points : 13
  repeat times    : 30
  Kal-a2 Separate [ MANUAL ]
  Kal a2 ratio    : 50 (%)
  Peak Search     [ AUTO ]
  differential points : 11
  FWHM threhold   : 0.050 (deg)
  intensity threshold : 30 (par mil)
  FWHM ratio (n-1)/n : 2
  System error Correction [ NO ]
  Precise peak Correction [ NO ]
```

< Group: Standard Data: hidro#andriani >

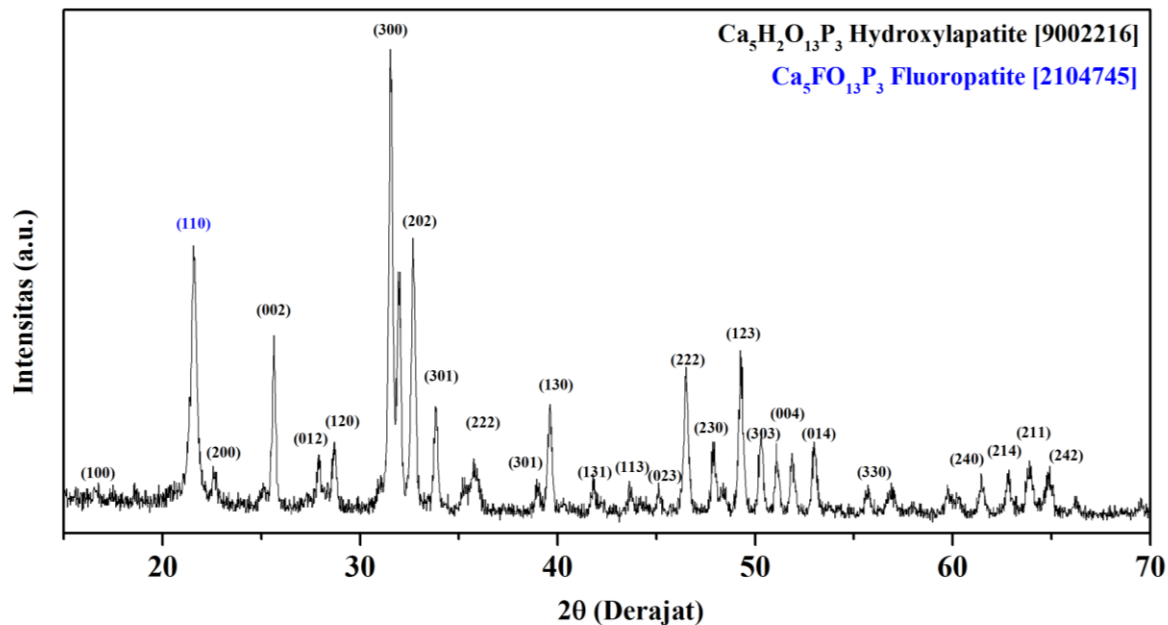




## b. Komposit hidroksiapatit/alginat/PVA

### XRD Pattern

Nama sampel: andriani#usman#161023



### References

Formula sum	Ca <sub>5</sub> H <sub>2</sub> O <sub>13</sub> P <sub>3</sub>
Entry number	96-900-2217
Figure-of-Merit (FoM)	0.867074
Total number of peaks	134
Peaks in range	73
Peaks matched	63
Intensity scale factor	1.00
Space group	P 63/m
Crystal system	hexagonal
Unit cell	a= 9.4232 Å c= 6.8833 Å
I/σ	1.59
Calc. density	3.157 g/cm <sup>3</sup>
Reference	Wilson R. M., Elliot J. C., Dowker S. E. P., "Rietveld refinement of the crystallographic structure of human dental enamel apatites Sample: Prep.63b, synthetic", American Mineralogist <b>84</b> , 1406-1414 (1999)
Formula sum	Ca <sub>4.852</sub> F <sub>0.89</sub> O <sub>12</sub> P <sub>3</sub> Sr <sub>0.148</sub>
Entry number	96-900-1389
Figure-of-Merit (FoM)	0.783678
Total number of peaks	133
Peaks in range	72
Peaks matched	59
Intensity scale factor	1.35
Space group	P 63/m
Crystal system	hexagonal
Unit cell	a= 9.3786 Å c= 6.8922 Å
I/σ	1.77
Calc. density	3.221 g/cm <sup>3</sup>
Reference	Hughes J M, Cameron M, Crowley K D, "Ordering of divalent cations in the apatite structure: Crystal structure refinements of natural Mn- and Sr-bearing apatite sample Sr.29", American Mineralogist <b>76</b> , 1857-1862 (1991)

### Percentage

Hydroxyapatite = ~95%

Fluorapatite = ~5%

## \*\*\* Basic Data Process \*\*\*

Group : Standard  
 Data : andriani#usman#161023

## # Strongest 3 peaks

no.	peak no.	2Theta (deg)	d (A)	I/I1	FWHM (deg)	Intensity (Counts)	Integrated Int (Counts)
1	12	31.5249	2.83564	100	0.21850	328	3863
2	14	32.6676	2.73901	56	0.23240	184	2372
3	3	21.5621	4.11801	52	0.30830	171	2408

## # Peak Data List

peak no.	2Theta (deg)	d (A)	I/I1	FWHM (deg)	Intensity (Counts)	Integrated Int (Counts)
1	21.0200	4.22297	3	0.08000	11	82
2	21.3000	4.16809	15	0.17340	50	526
3	21.5621	4.11801	52	0.30830	171	2408
4	21.9200	4.05157	5	0.16000	17	299
5	22.6150	3.92861	5	0.25000	18	262
6	25.0750	3.54849	4	0.23000	12	197
7	25.6147	3.47493	34	0.20770	110	1245
8	27.8866	3.19678	9	0.17330	31	350
9	28.3450	3.14611	3	0.11000	10	72
10	28.6630	3.11192	12	0.24600	39	473
11	30.9800	2.88426	4	0.28000	13	242
12	31.5249	2.83564	100	0.21850	328	3863
13	31.9378	2.79991	50	0.22310	163	2012
14	32.6676	2.73901	56	0.23240	184	2372
15	33.8056	2.64936	23	0.20690	74	852
16	35.2550	2.54369	5	0.33000	17	308
17	35.7400	2.51028	9	0.36000	31	390
18	35.9200	2.49811	7	0.28000	22	233
19	38.9633	2.30971	5	0.24670	16	208
20	39.5751	2.27540	23	0.22220	76	897
21	41.7914	2.15971	7	0.18290	23	336
22	43.6300	2.07287	5	0.18000	17	223
23	45.0883	2.00915	5	0.16330	18	169
24	46.4714	1.95253	35	0.19940	114	1279
25	46.7200	1.94271	3	0.12000	10	96
26	47.8619	1.89900	15	0.21890	50	601
27	48.2966	1.88291	5	0.20670	18	210
28	48.5200	1.87477	3	0.12000	10	78
29	48.9200	1.86037	3	0.13340	10	96
30	49.2446	1.84886	37	0.23070	122	1499
31	50.2671	1.81362	17	0.23150	57	716
32	51.0749	1.78682	14	0.18110	45	436
33	51.8454	1.76206	14	0.19360	46	517
34	52.9594	1.72759	16	0.23310	53	667
35	55.6600	1.65000	5	0.26000	18	245
36	56.7200	1.62165	3	0.24000	11	111
37	56.9000	1.61695	4	0.37340	14	188
38	59.7333	1.54684	5	0.18670	18	220
39	60.2853	1.53399	4	0.19730	14	190
40	61.4386	1.50793	9	0.21070	28	358
41	62.7791	1.47892	9	0.21170	30	367
42	63.8400	1.45687	9	0.32000	31	520
43	64.8200	1.43720	8	0.32000	26	429
44	66.1883	1.41076	3	0.19670	11	137

## \*\*\* Basic Data Process \*\*\*

```
# Data Infomation
  Group           : Standard
  Data            : andriani#usman#161023
  Sample Nmae    : powder
  Comment         :
  Date & Time     : 10-17-23 14:57:20

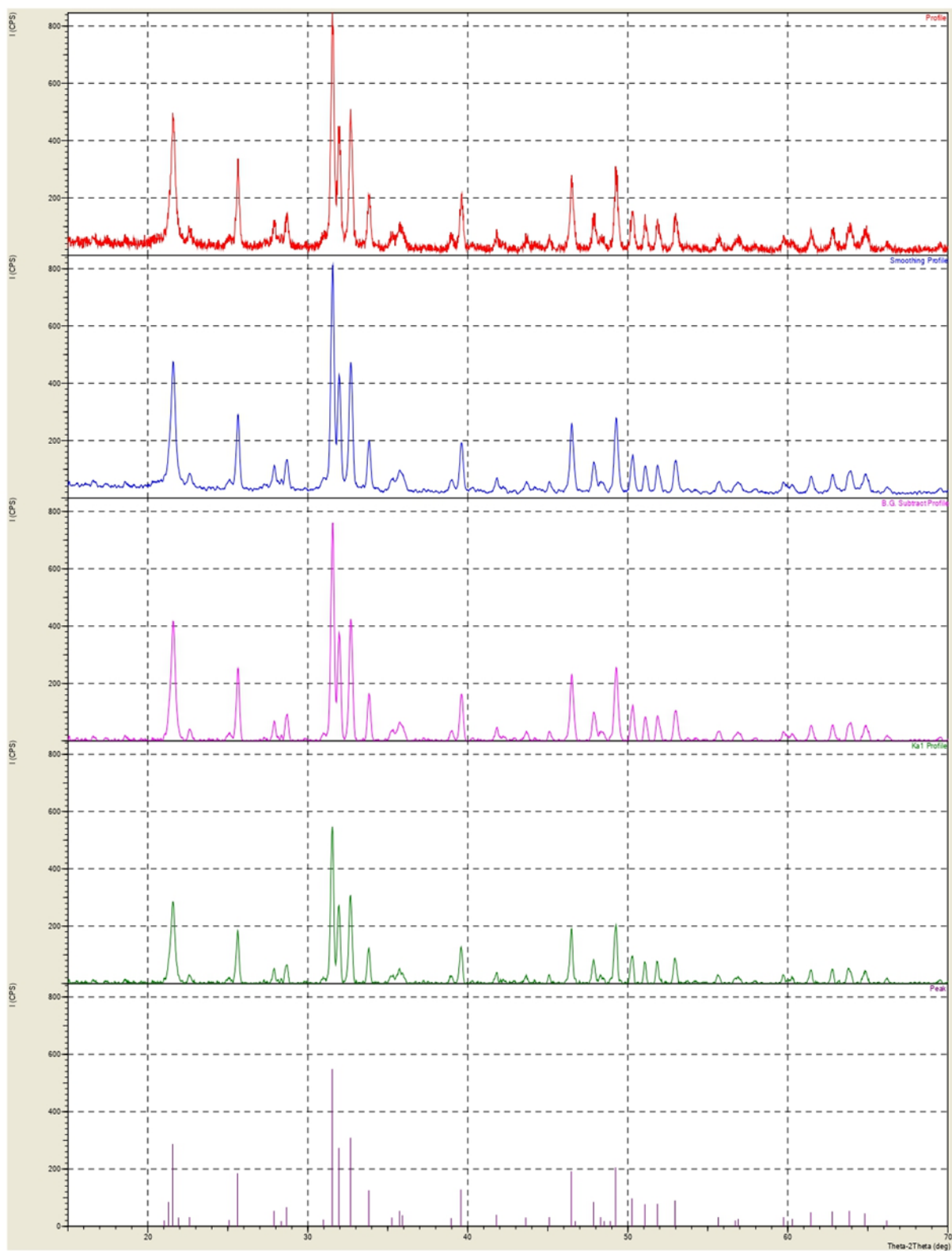
# Measurement Condition
  X-ray tube
  target          : Cu
  voltage         : 40.0 (kV)
  current         : 30.0 (mA)

  Slits
  Auto Slit      : not Used
  divergence slit : 1.00000 (deg)
  scatter slit   : 1.00000 (deg)
  receiving slit  : 0.30000 (mm)

  Scanning
  drive axis     : Theta-2Theta
  scan range     : 15.0000 - 70.0000 (deg)
  scan mode      : Continuous Scan
  scan speed     : 2.0000 (deg/min)
  sampling pitch : 0.0200 (deg)
  preset time    : 0.60 (sec)

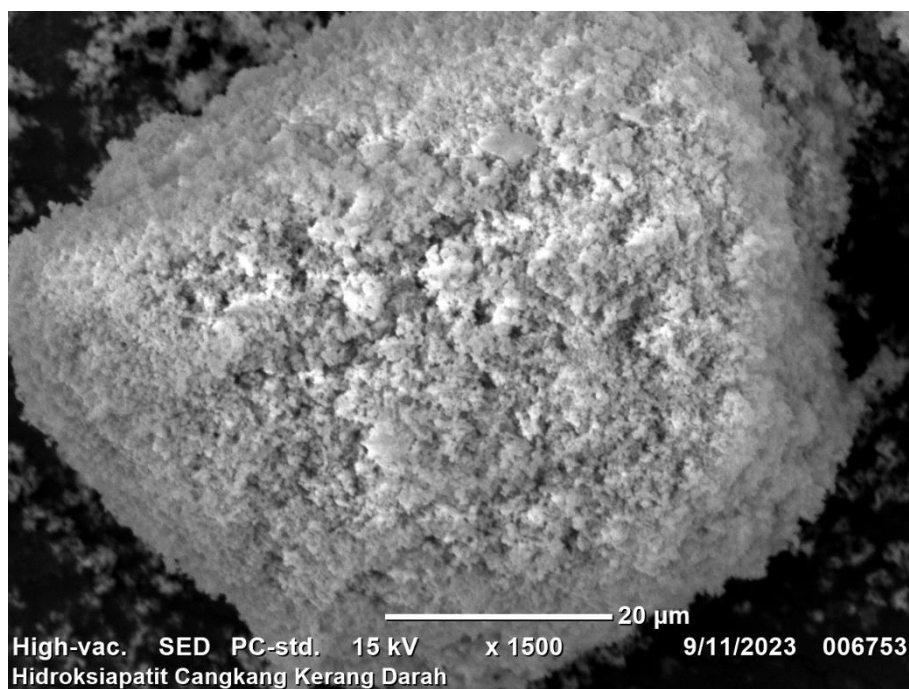
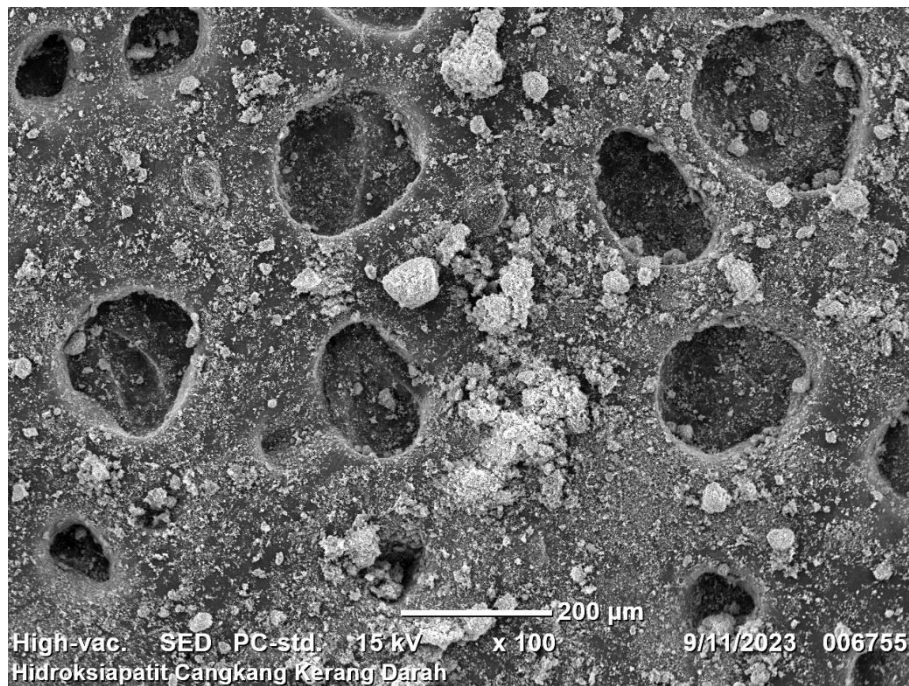
# Data Process Condition
  Smoothing      [ AUTO ]
  smoothing points : 13
  B.G.Subtruction [ AUTO ]
  sampling points : 13
  repeat times    : 30
  Kal-a2 Separate [ MANUAL ]
  Kal a2 ratio    : 50 (%)
  Peak Search     [ AUTO ]
  differential points : 13
  FWHM threhold   : 0.050 (deg)
  intensity threshold : 30 (par mil)
  FWHM ratio (n-1)/n : 2
  System error Correction [ NO ]
  Precise peak Correction [ NO ]
```

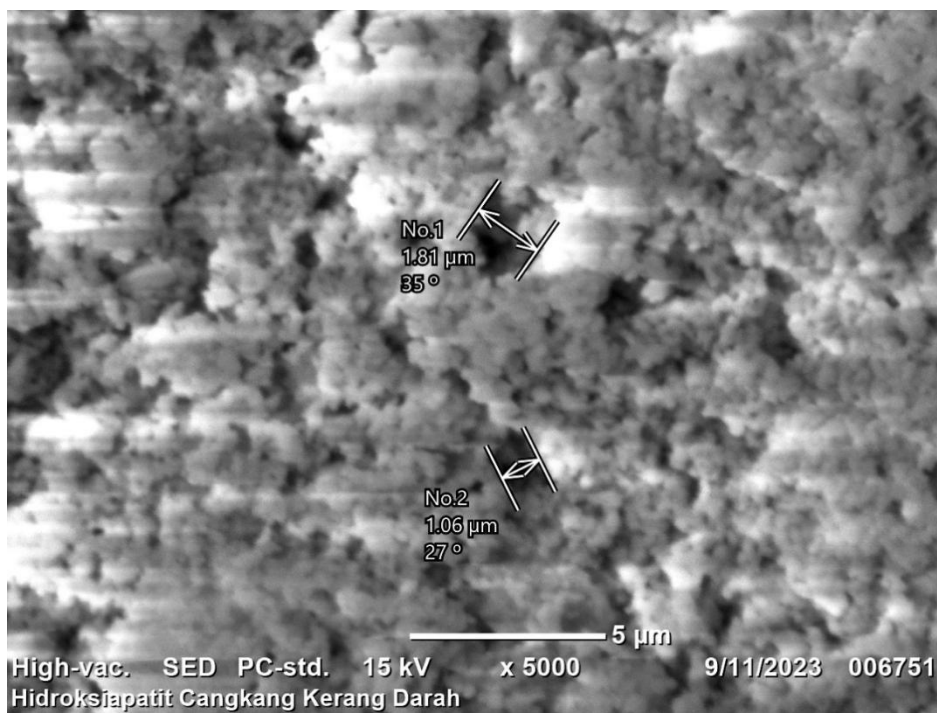
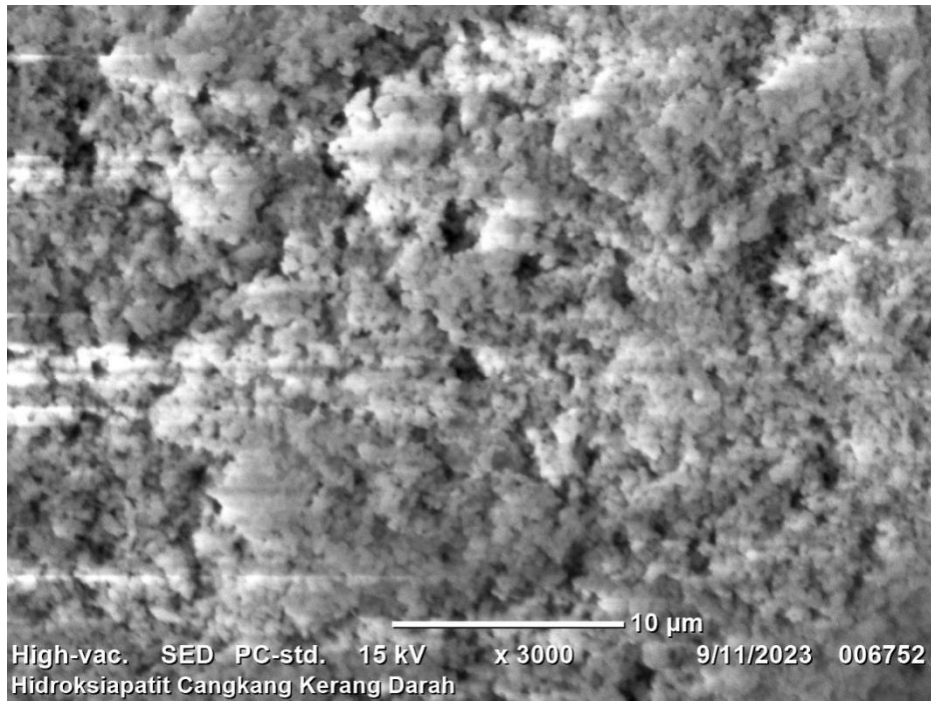
< Group: Standard Data: andriani#usman#161023 >

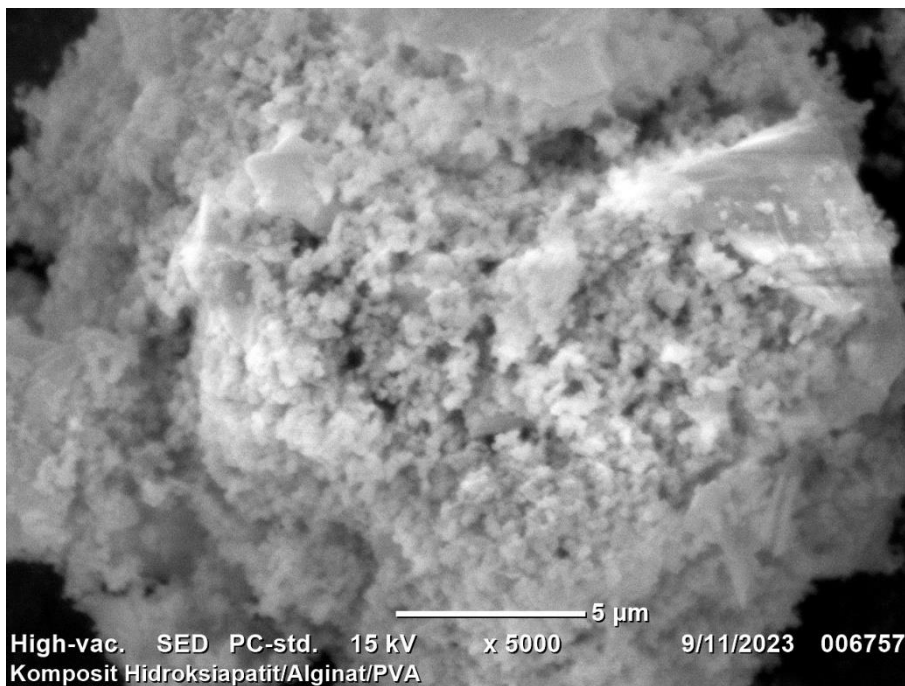
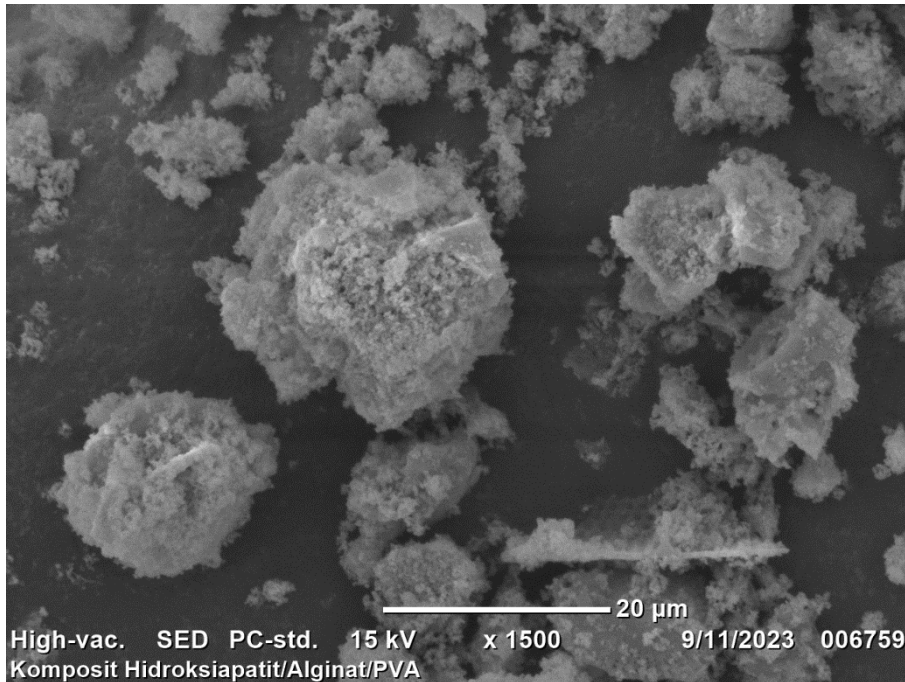


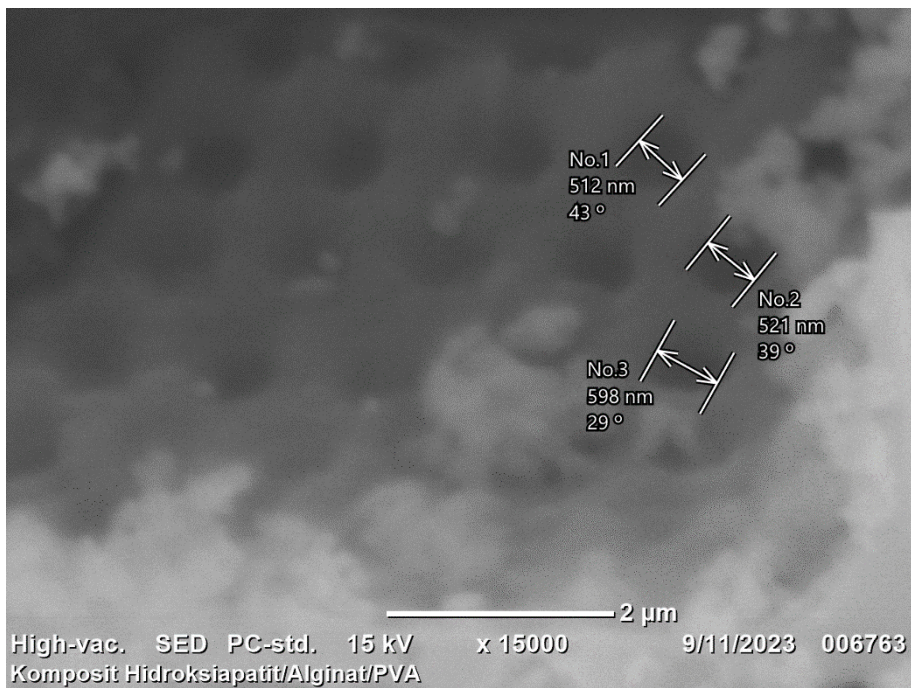
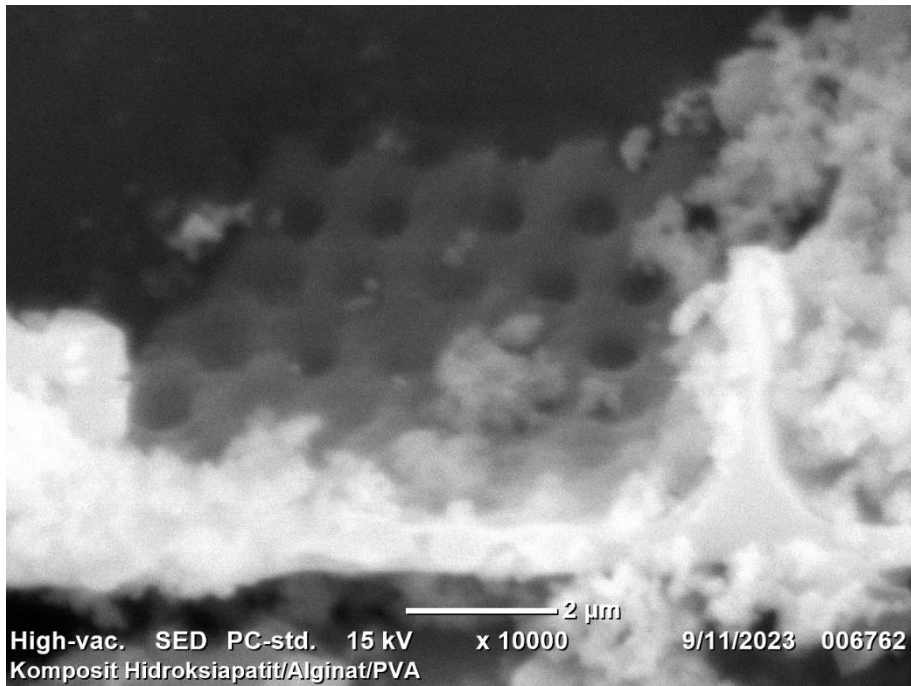
#### 4. Karakterisasi dengan SEM

##### a. Hidroksiapatit dari CaO cangkang kerang darah





**b. Pelapis implan gigi hidroksiapatit/alginat/PVA**



5. Analisis uji mekanik pelapis implant gigi hidroksiapatit/  
alginat/PVA dengan *universal testing machine*



KEMENTERIAN PENDIDIKAN, KEBUDAYAAN,  
RISET, DAN TEKNOLOGI  
**POLITEKNIK NEGERI UJUNG PANDANG**  
Jalan Perintis Kemerdekaan Km. 10 Tamalanrea, Makassar 90245  
Telepon: (0411)-585365, 585367, 585368; Faksimili: (0411)-586043  
Laman : [www.poliupg.ac.id/](http://www.poliupg.ac.id/) E-Mail : [pnup@poliupg.ac.id](mailto:pnup@poliupg.ac.id)

LABORATORIUM MEKANIK  
POLITEKNIK NEGERI UJUNG PANDANG

### HASIL PENGUJIAN KEKUATAN TEKAN

1. PEMESAN : Andriani Usman  
2. NIM : H012211011  
3. INSTITUSI : Prodi Kimia, MIPA, Univ. Hasanuddin  
4. JENIS SPESIMEN UJI : Material Pelapis Implan Gigi  
5. TANGGAL PENGUJIAN : 21 Agustus 2023  
6. PENGUJI : H. Muhlis, ST

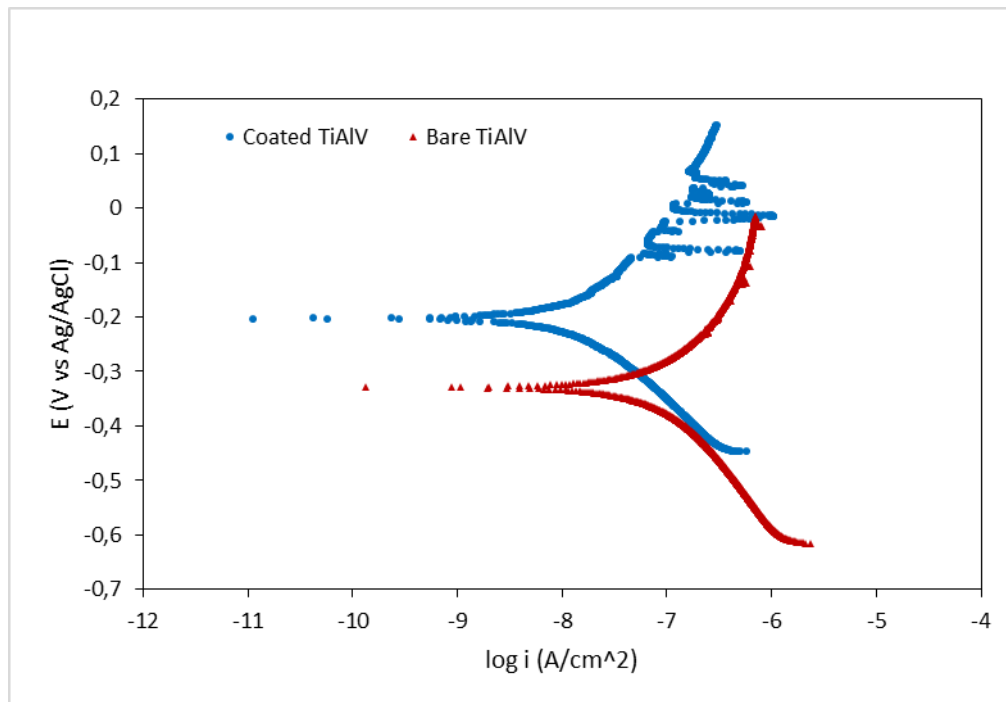
SPESIMEN UJI	KETERANGAN
Standar Pengujian	ISO
Standar Benda Uji	ISO
Tebal Spesimen Uji (mm)	7,2
Lebar Spesimen Uji (mm)	13,1
Luas Penampang Uji (mm <sup>2</sup> )	94,32
Beban Tekan Maksimum (N)	5.000
Kekuatan Tekan Maksimum (N/mm <sup>2</sup> )	53,011



21 Agustus 2023  
Laboratorium Mekanik

(Ahmad Zubair Sultan, ST., MT., PhD)  
NIP. 197404231999031002

## 6. Analisis uji ketahanan korosi pelapis implant gigi hidroksiapatit/ alginat/PVA dengan *potensioestat corrtest CS350*



	Bare TiAlV	Coated TiAlV
Potensial korosi (V vs (Ag/AgCl))	-0.328	-0.203
Rapat arus korosi (A/cm <sup>2</sup> )	1.068E-07	1.807E-08

Uji Potentiodynamic Polarization dengan alat Potensioestat Corrtest CS350

Elektroda kerja: sampel TiAlV (bare) dan sampel TiAlV dengan lapisan coating (coated)

Elektroda acuan: Ag/AgCl

Elektroda bantu: Platina

Elektrolit: larutan ringer laktat

Hasil: sampel coated TiAlV menunjukkan rapat arus korosi yang lebih rendah dan potensial korosi yang lebih positif dibandingkan sampel bare TiAlV. Hal ini mengindikasikan sampel coated TiAlV memiliki ketahanan korosi yang lebih baik dibandingkan sampel bare TiAlV. Namun, hasil polarisasi sampel coated TiAlV kurang baik, terlihat dari nilai arus yang kurang stabil pada potensial yang semakin positif. Hal ini disebabkan karena lapisan coating yang mengalami perubahan volume selama proses pengujian. Lapisan coating menyerap air dan terlihat menggelembung saat dicelupkan ke dalam larutan.

**LAMPIRAN 3. Dokumentasi Penelitian**  
**1. Preparasi cangkang kerang darah**

	
<p><b>Sampel cangkang kerang darah</b></p>	<p><b>Sampel cangkang kerang darah dibersihkan</b></p>
	
<p><b>Sampel cangkang kerang darah dikeringkan pada suhu ruang</b></p>	<p><b>Sampel cangkang kerang darah dihaluskan hingga menjadi serbuk</b></p>
	
<p><b>Serbuk cangkang kerang darah dikeringkan menggunakan oven dengan suhu 150°C selama 1 jam</b></p>	<p><b>Cangkang kerang darah setelah kalsinasi (CaO) suhu 1000°C selama 5 jam</b></p>

## 2. Pembuatan larutan kalsium fosfat



CaO ditimbang 5,6 g



Ditambahkan aquabidest 100 mL,  
diaduk dengan kecepatan 400 rpm  
selama 2 jam pada suhu 40°C



4,1 mL H<sub>3</sub>PO<sub>4</sub> 85%



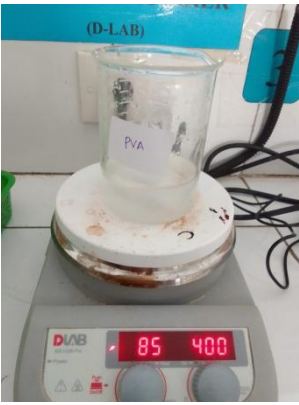
Ditambahkan aquabidest hingga  
volume mencapai 100 mL

### 3. Sintesis Hidroksiapatit dari CaO Cangkang Kerang Darah

	
<p>Dititrasi asam fosfat (<math>\text{H}_3\text{PO}_4</math>) 0,6 M kedalam 100 mL kalsium hidroksida (<math>\text{Ca}(\text{OH})_2</math>) 1 M</p>	<p>Dihangatkan pada suhu <math>60^\circ\text{C}</math> selama 1 jam</p>
	
<p>Ditambahkan NaOH 1 M sehingga diperoleh pH 10</p>	<p>Didiamkan selama 24 jam pada suhu ruang</p>
	
<p>Disaring menggunakan kertas saring</p>	<p>Dikeringkan menggunakan oven pada suhu <math>110^\circ\text{C}</math> selama 2 jam</p>

	
<p>Dikalsinasi suhu 800°C 10 jam</p>	<p>Hidroksiapatit dari CaO cangkang kerang darah</p>

#### 4. Sintesis Komposit Hidroksiapatit/Alginat/PVA

	
<p>Ditimbang PVA sebanyak 0,5 g</p>	<p>Diaduk menggunakan pengaduk magnetik dengan laju pengadukan 400 rpm pada suhu <math>\pm</math> 85°C selama kurang lebih 1 jam</p>
	
<p>Ditimbang alginat 1,5 g</p>	<p>Dimasukkan kedalam larutan PVA yang sudah homogen</p>



Ditambahkan serbuk hidroksiapatit sebanyak 3 g dalam larutan alginat/PVA yang sudah homogen



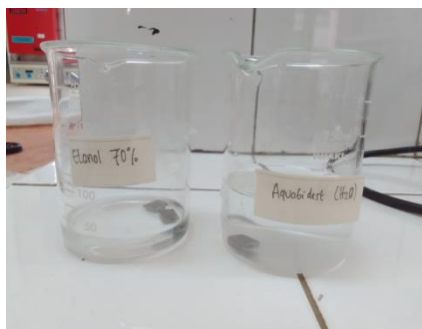
Diaduk menggunakan pengaduk magnetik dengan laju pengadukan 400 rpm selama 1 jam hingga homogen



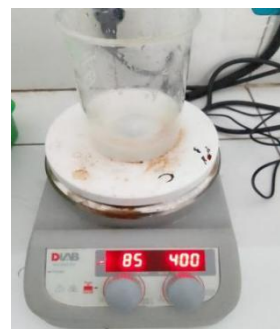
Dikeringkan pada suhu 110°C



Dipotong dengan ukuran panjang 1 cm, lebar 1 cm dan tebal 0,5 cm



Dihaluskan dan dicuci menggunakan etanol 70% kemudian dibilas dengan aquabidest



PVA ditimbang sebanyak 1 gram dan diaduk menggunakan pengaduk magnetik dengan laju pengadukan 400 rpm pada suhu  $\pm 85^{\circ}\text{C}$



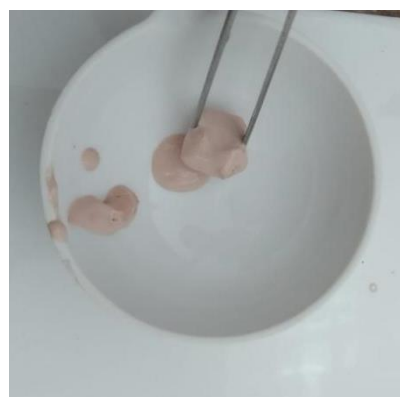
**Ditimbang sebanyak 5 g komposit hidroksiapatit/alginat/PVA**



**Dimasukkan kedalam larutan PVA yang telah larut dan diaduk menggunakan pengaduk magnetik dengan laju pengadukan 400 rpm hingga larut**



**Dicelupkan logam Ti-6Al-4V kedalam larutan komposit hidroksiapatit/ alginat/PVA**



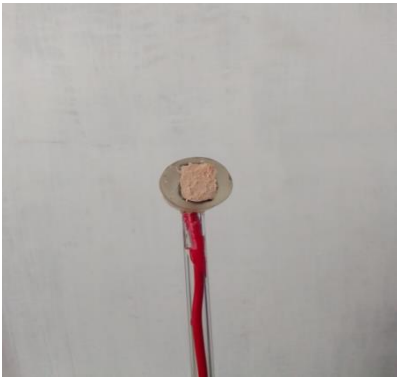
**Diangkat dari larutan komposit hidroksiapatit/alginat/PVA**

	
<p>Dikeringkan pada suhu 150°C selama 1 jam</p>	<p>Pelapis implan gigi</p>

### 5. Uji kuat tekan

	
<p>Dipasang pada tumpuan yang terdapat pada mesin</p>	<p>Ditekan dengan memperhatikan pembacaan pada alat ukur sampai mencapai gaya tekan maksimum</p>

## 6. Uji ketahanan korosi

	
<p><b>Dipasang logam Ti-6Al-4V pada kabel</b></p>	<p><b>Dilapisi loga Ti-6Al-4V</b></p>
	
<p><b>Dipasang rangkaian alat uji korosi dengan menggunakan tiga elektroda, sampel logam Ti-6Al-4V dan sampel logam Ti-6Al-4V terlapis komposit hidroksiapatit/alginat/PVA sebagai elektroda kerja</b></p>	<p><b>Dibaca pada komputer</b></p>